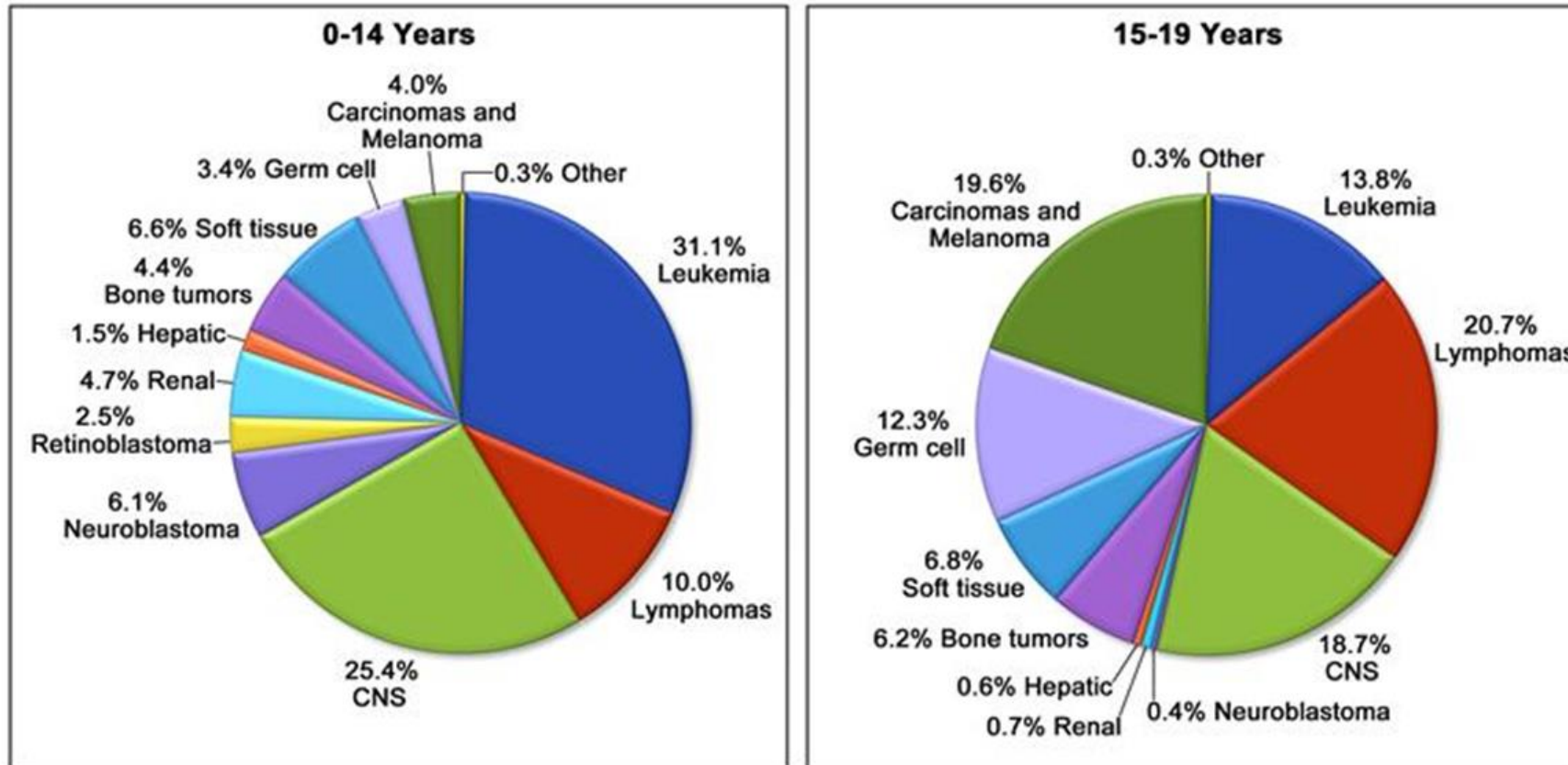


# Perspectives thérapeutiques en oncologie pédiatrique

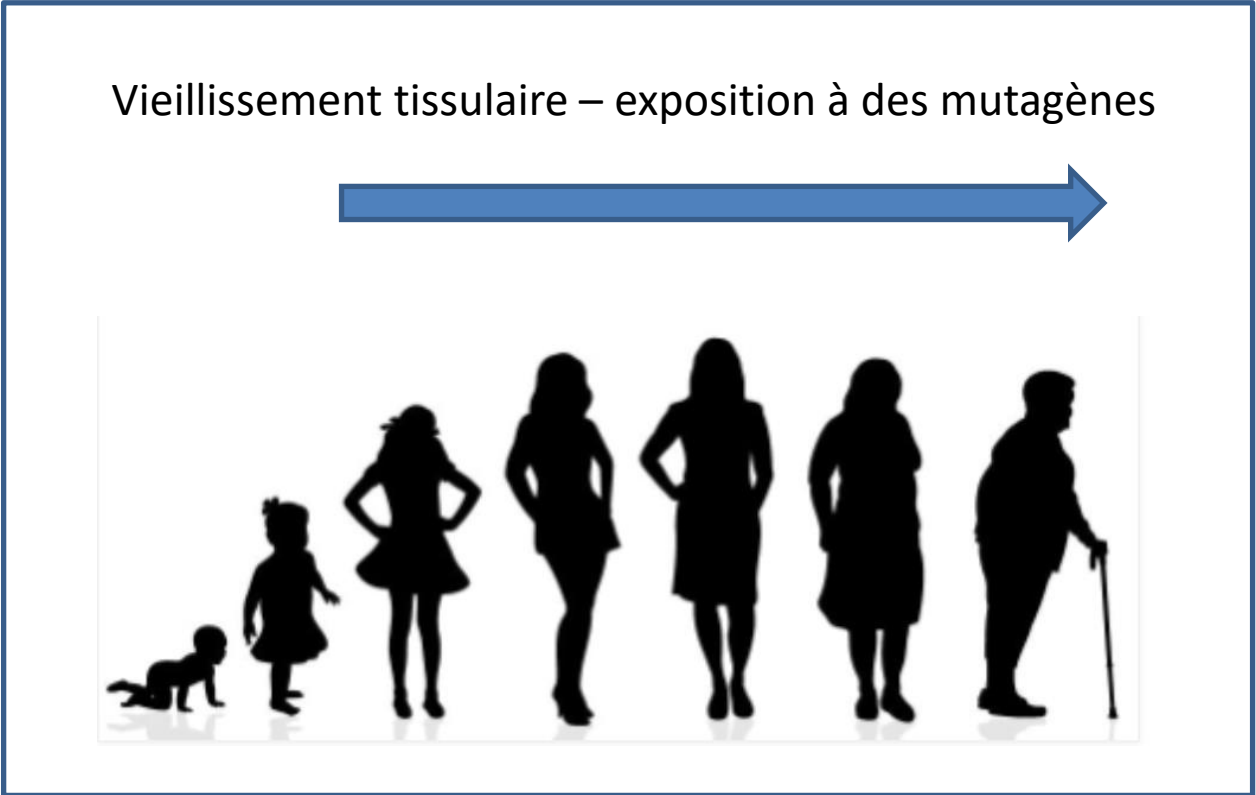
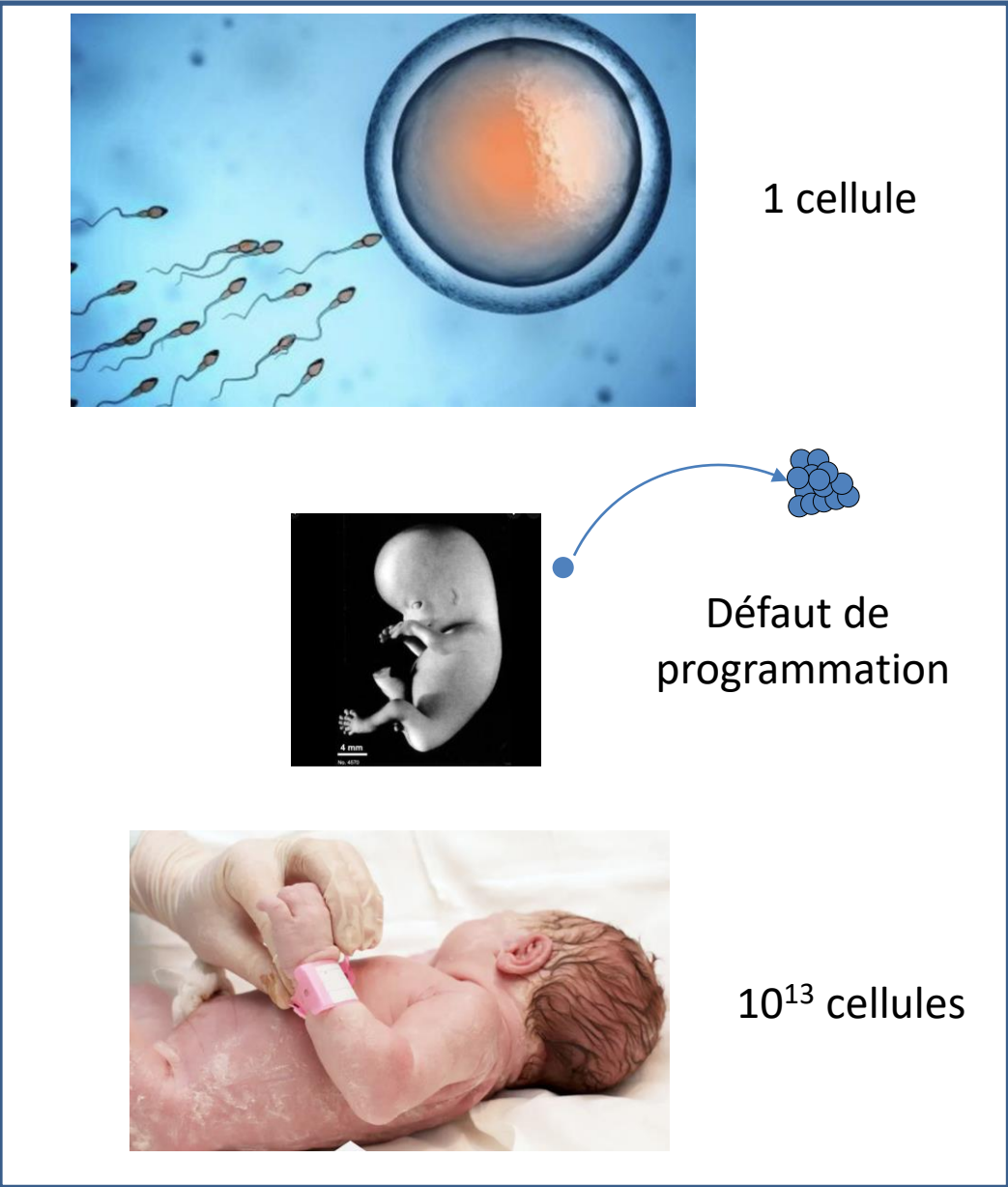
Olivier Delattre  
Inserm/Institut Curie

# Les types de cancers chez l'enfant et l'AJA

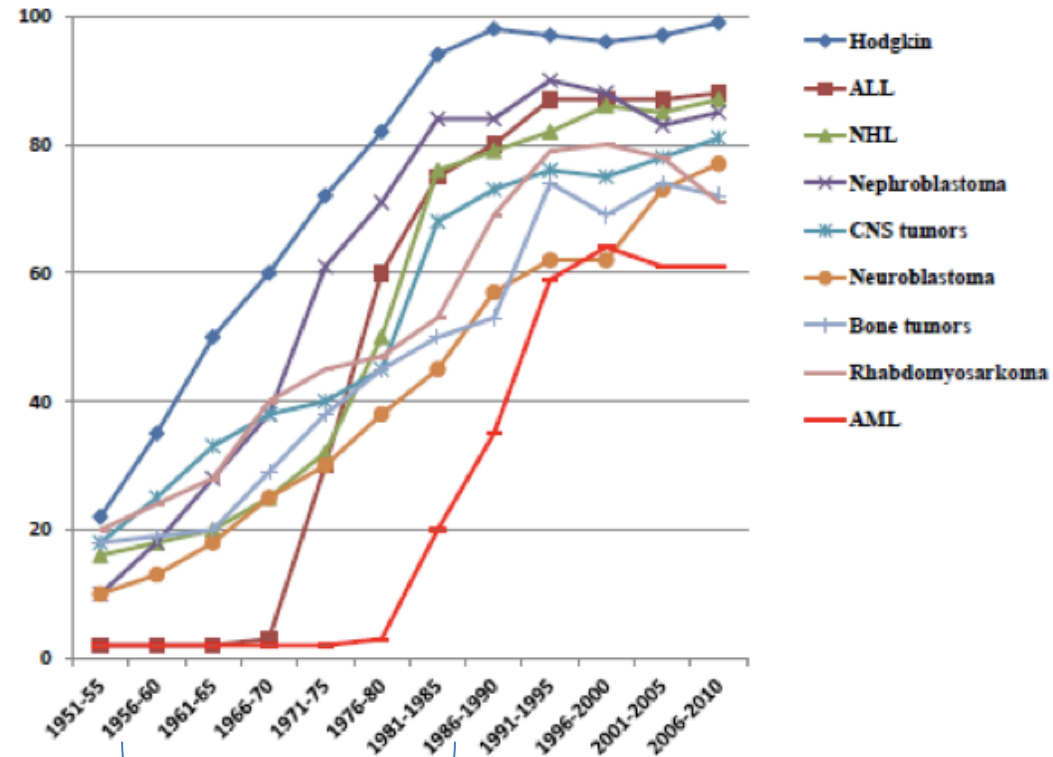
**Age-Adjusted and Age-Specific Cancer Incidence Rates for Patients 0-19 Years of Age (SEER 2005-2009)**



# Les cancers de l'enfant/AJA sont fondamentalement différents de ceux de l'adulte



# Survie à 5 ans des cancers de l'enfant



5-year survival in pediatric oncology in Sweden 1951-2010

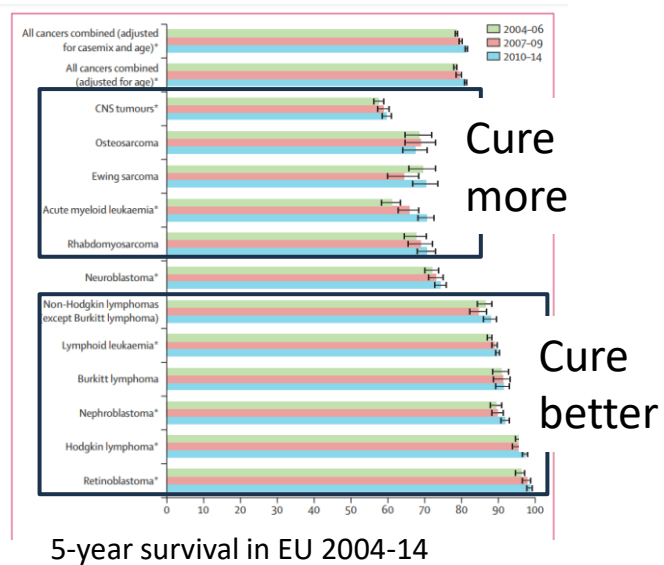
Essais cliniques recherchant la meilleure combinaison de chimiothérapie, chirurgie, radiothérapie  
Et progrès majeurs des techniques chirurgicales, de radiothérapie et des soins de support



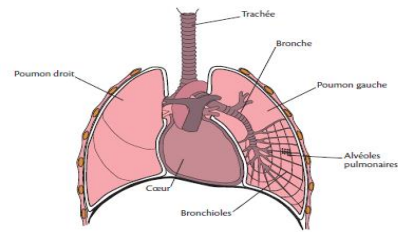
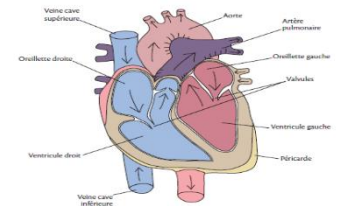
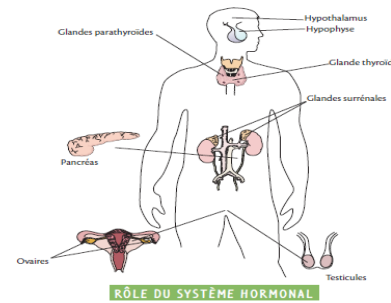
Recherche fondamentale.  
Applications émergentes en thérapie

# Nombreuses séquelles à long terme

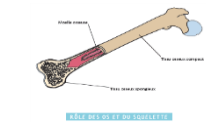
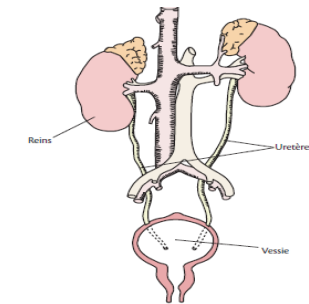
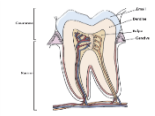
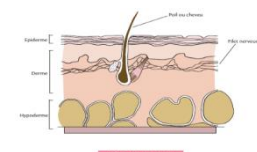
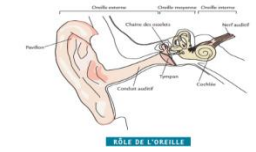
Overall, 81% survival



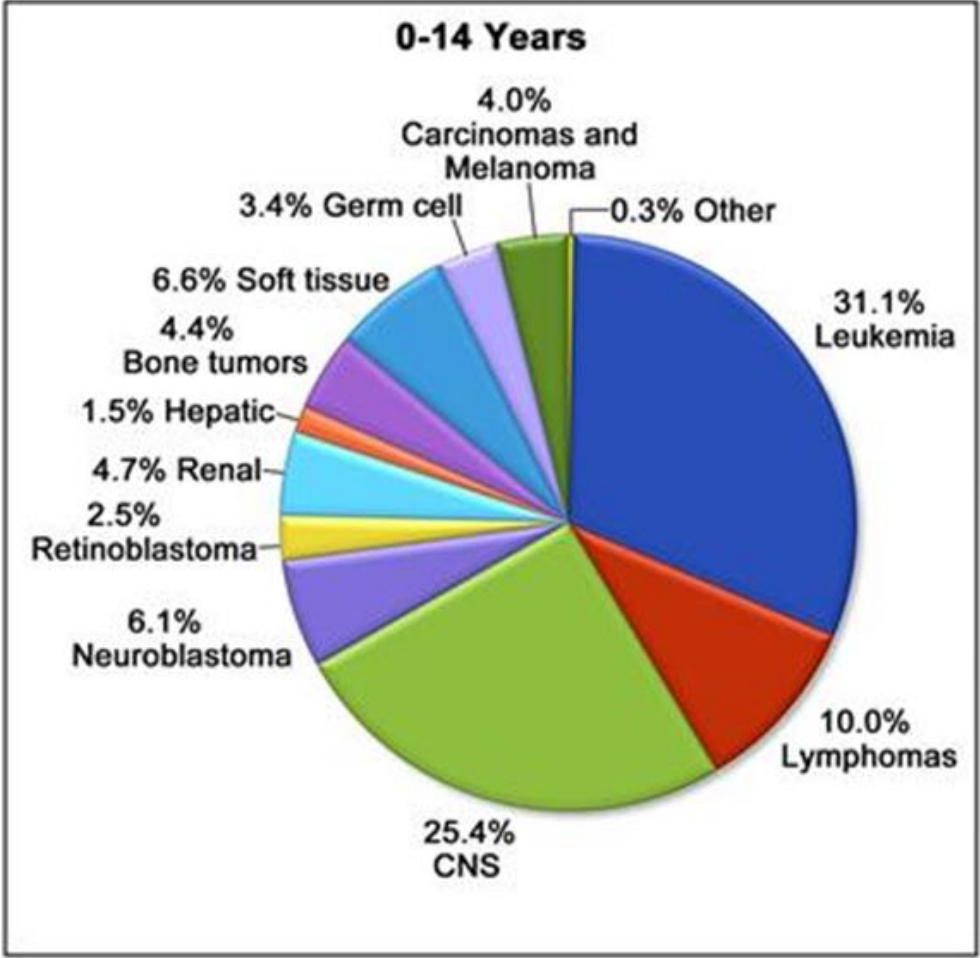
Botta et al, Lancet Oncol 2022



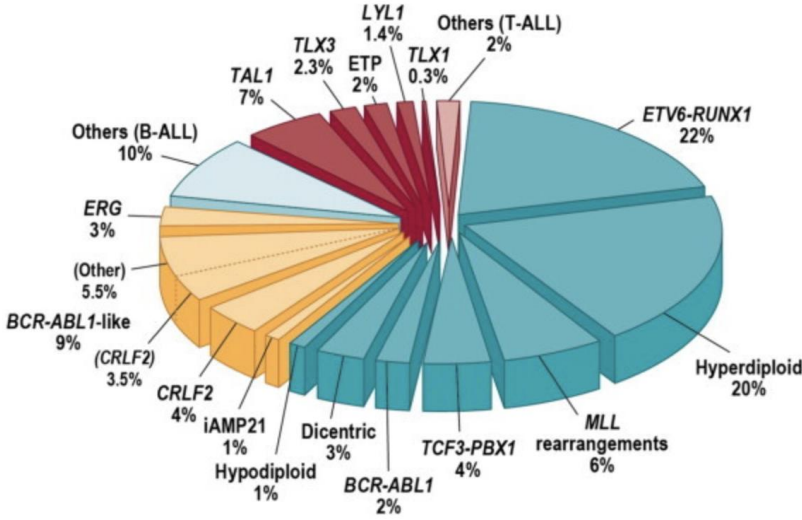
## LE DÉPISTAGE DES TUMEURS BÉNIGNES ET D'AUTRES CANCERS



# Complexification considérable de la classification au cours des dernières années

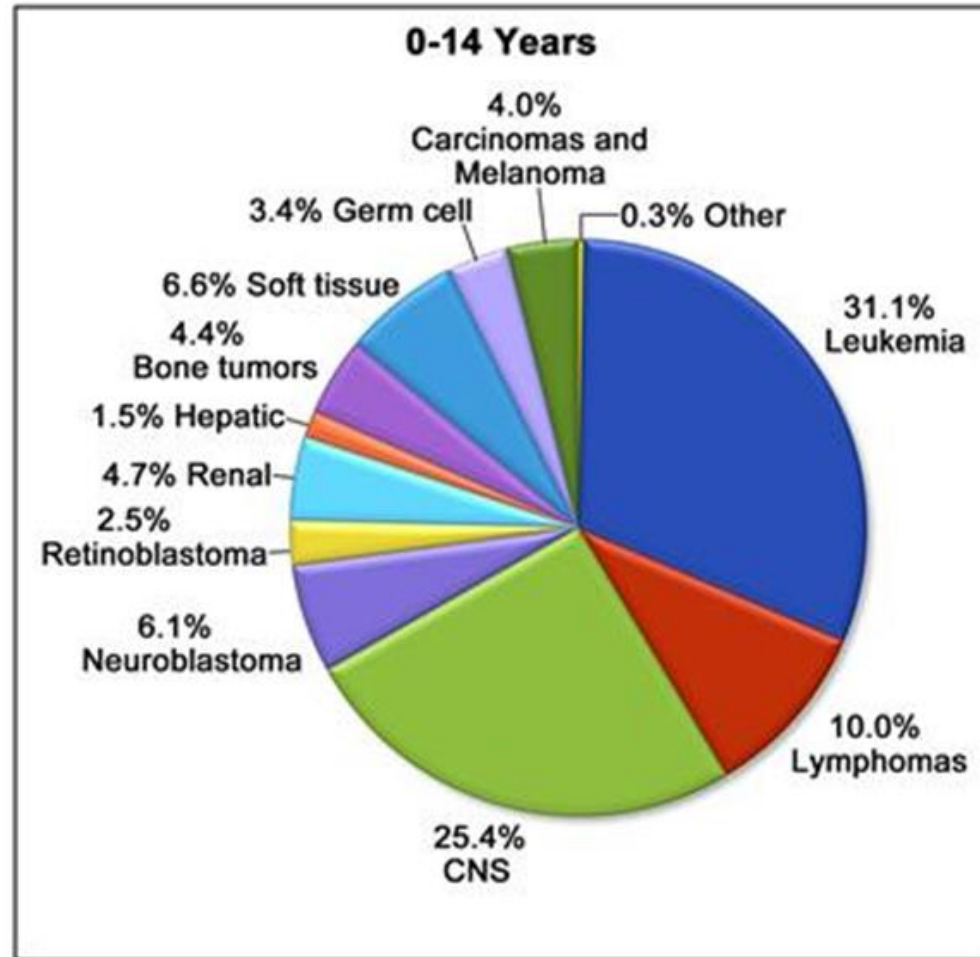


## Exemple des Leucémies Aigues Lymphoblastiques

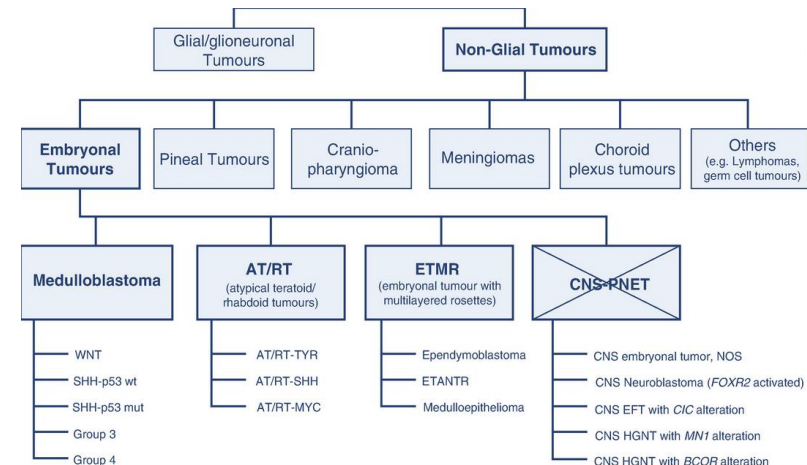
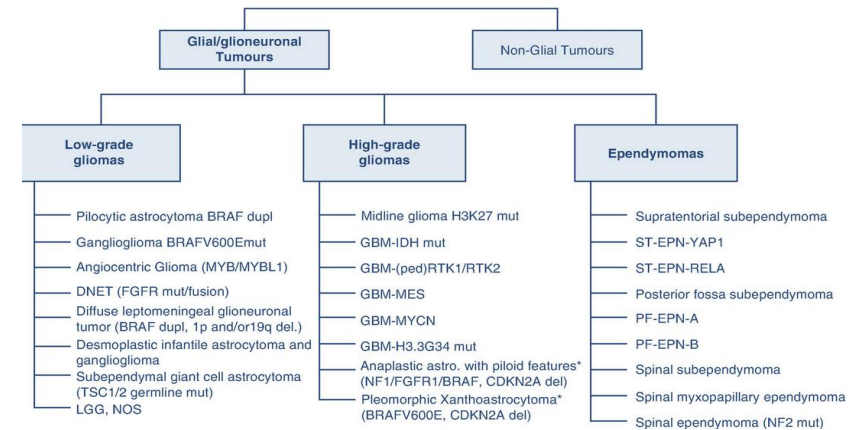


Mullighan, Seminars in Hematology, 2013

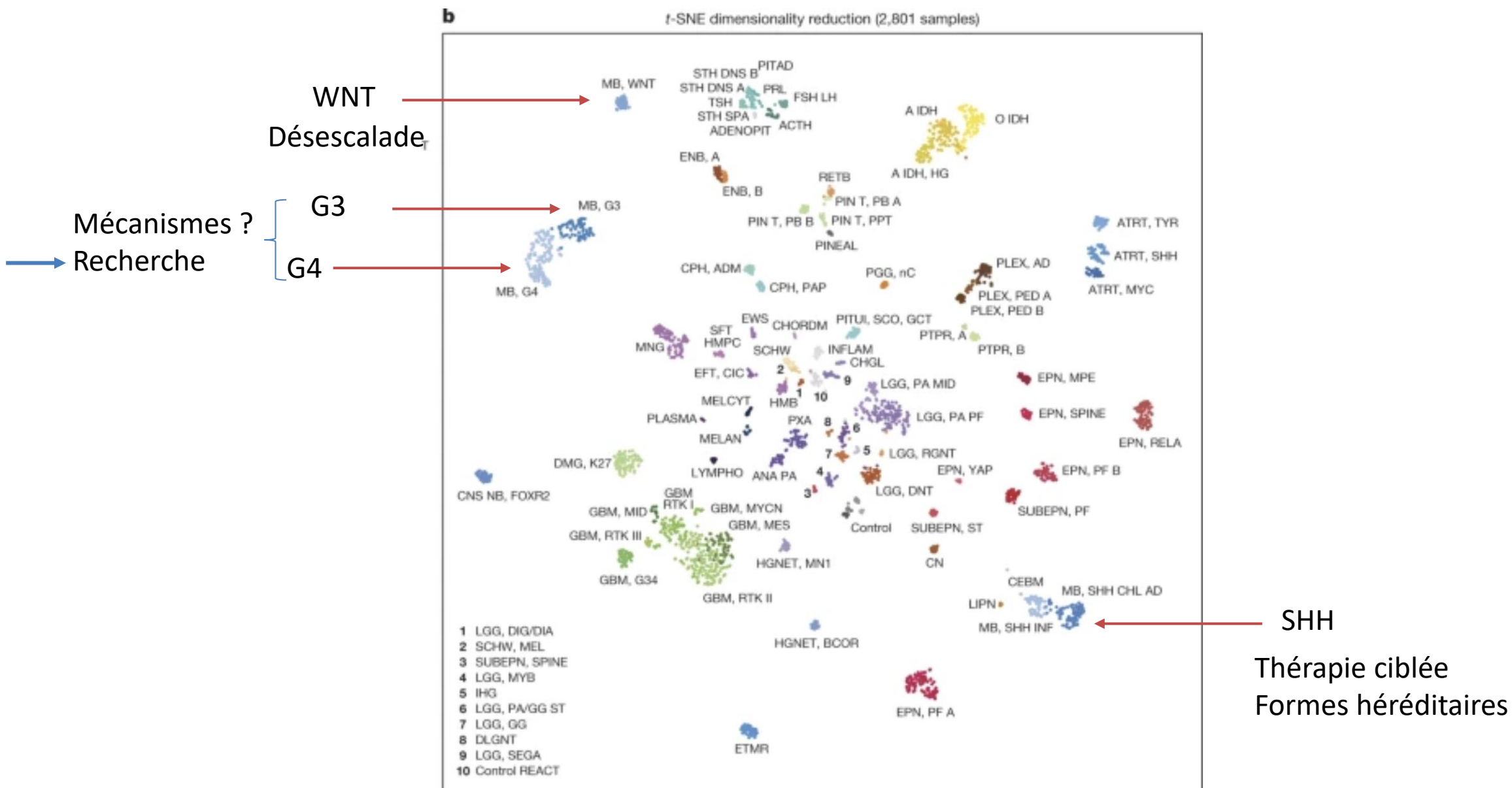
# Complexification considérable au cours des dernières années



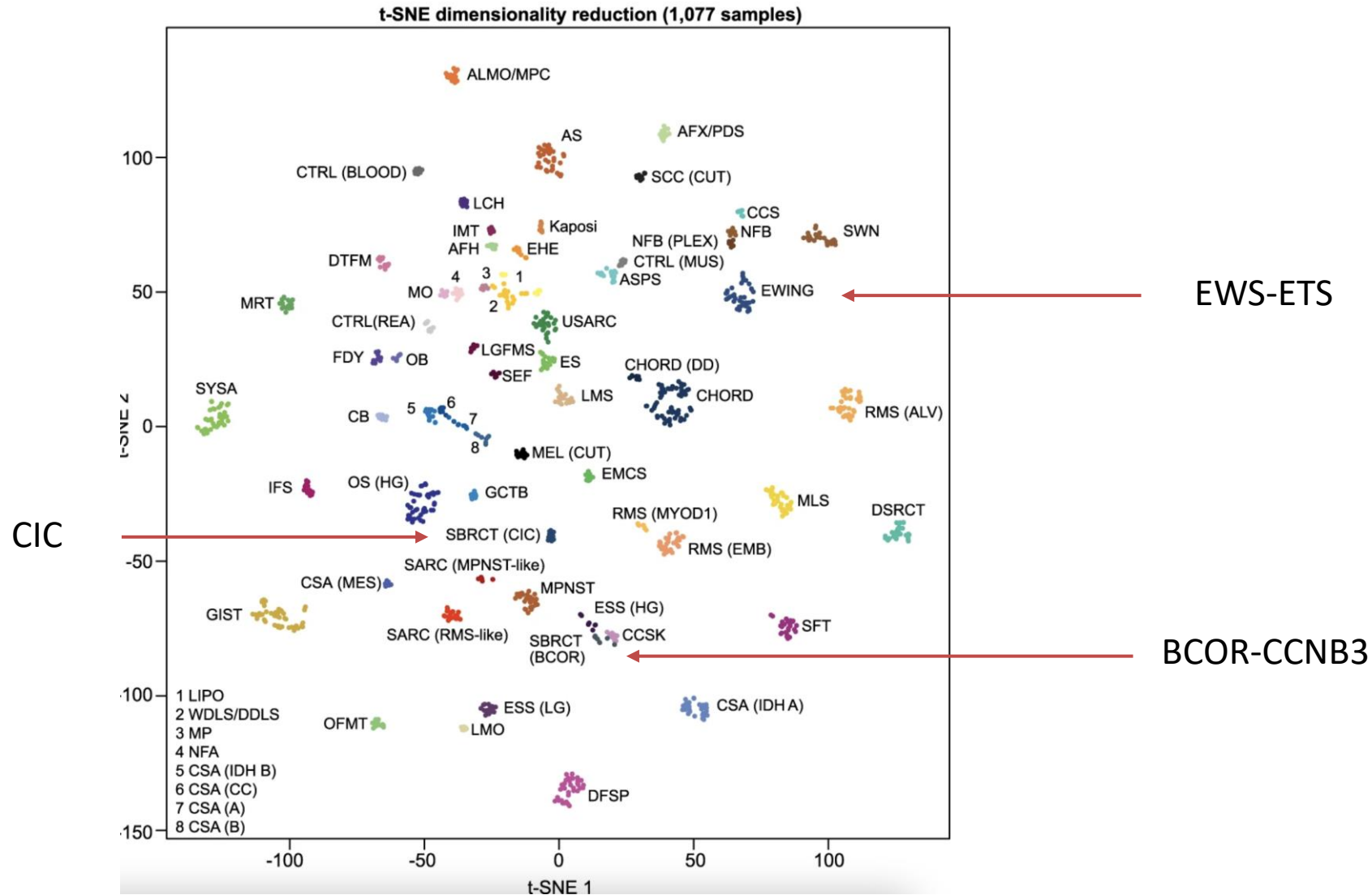
## Exemple des tumeurs cérébrales



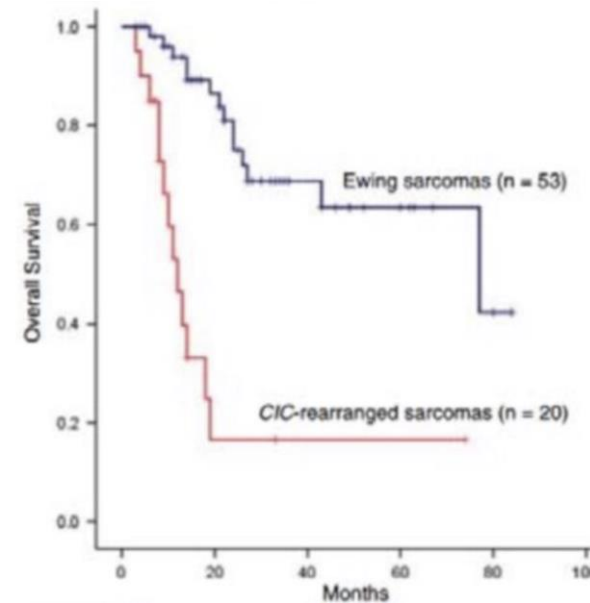
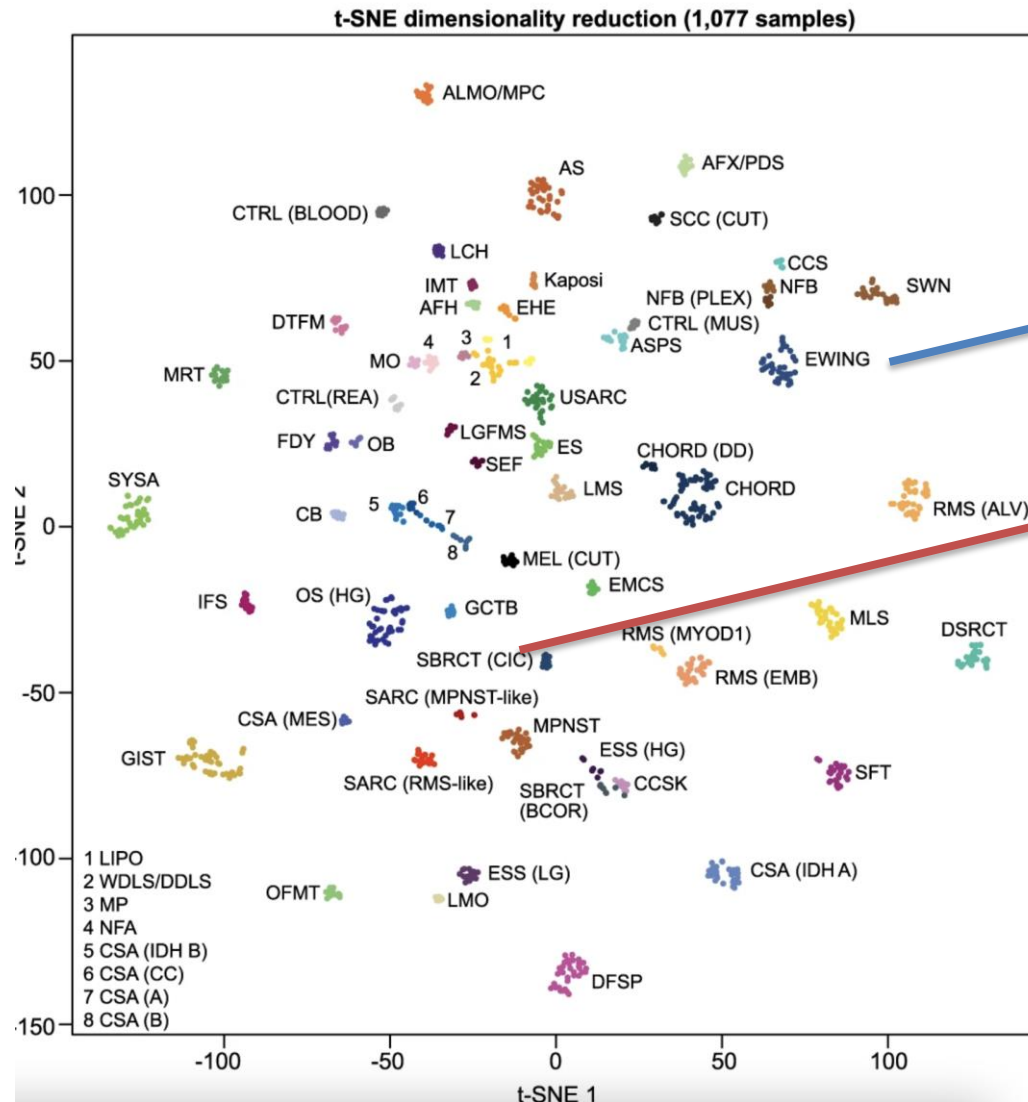
# Les différents médulloblastomes: des implications cliniques majeures



# Exemple des sarcomes Ewing et Ewing-like



# Exemple des sarcomes Ewing et Ewing-like



Inefficacité du traitement des CIC  
par les protocoles Ewing

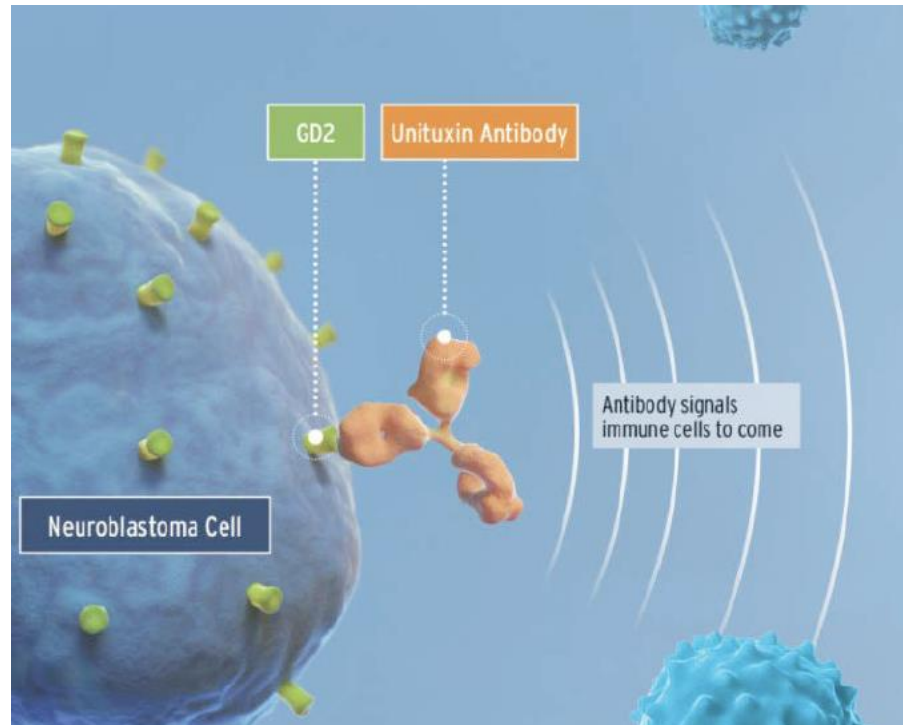
# Des raisons d'être optimistes

---

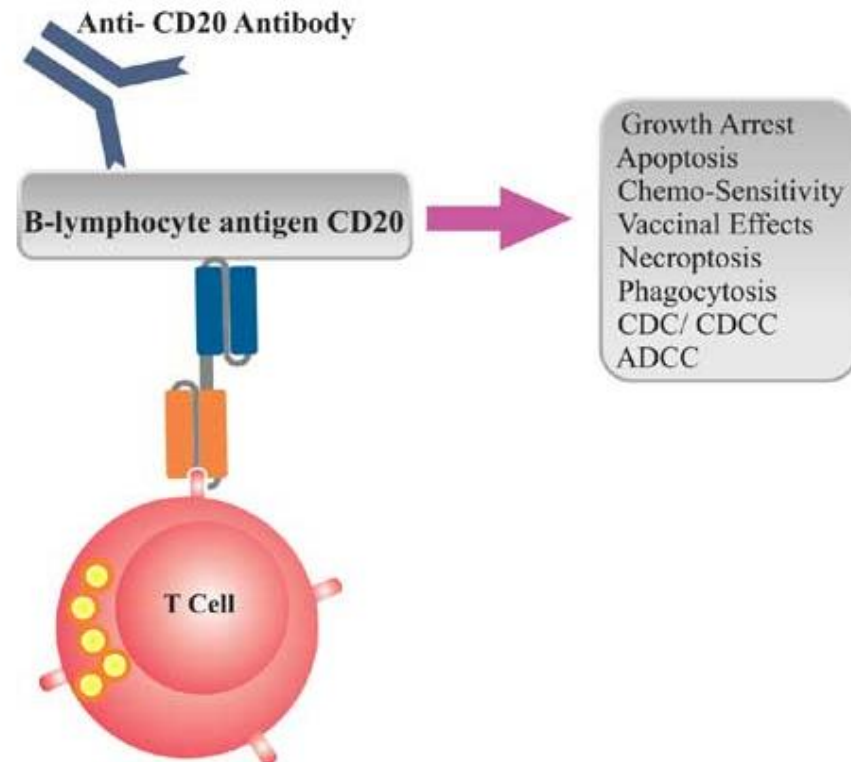
- Les success stories (CAR-T CD19, NTRK...)
- Progrès considérables de la connaissance des mécanismes de développement de ces tumeurs. Applications thérapeutiques émergentes (progrès de la chimie, de l'immuno...)
- L'évolution de l'environnement réglementaire (Plans d'Investigation Pédiatrique)
- Caractérisation moléculaire en clinique (FMG en relai des plateformes de génétique de l'Inca)
- Un investissement financier majeur à l'international dans ce domaine (moonshot, PMC, KiTZ-Heidelberg, Cancer Research-UK Grand Challenge...)

# Quelques success stories: les anticorps monoclonaux

Anti GD2 in neuroblastoma



Anti CD20 in B cell malignancies



# Les inhibiteurs de TRK

1998



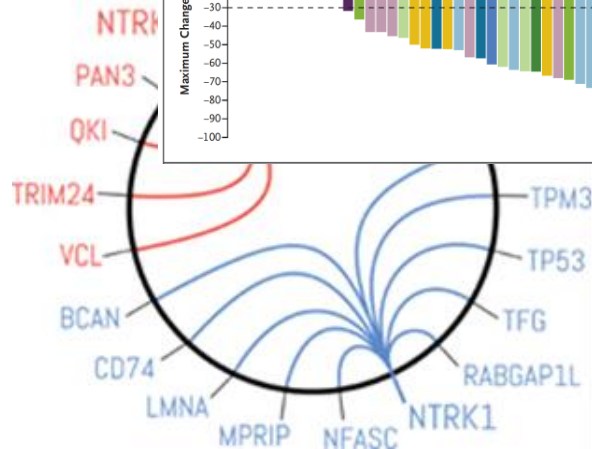
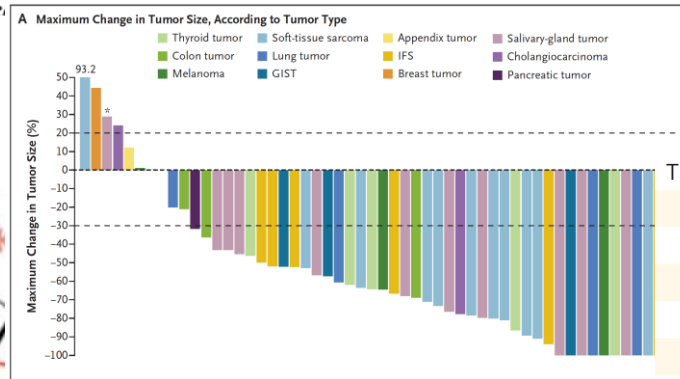
Letter | Published: 01 February 1998

## A novel ETV6-NTRK3 gene fusion in congenital fibrosarcoma

Stevan R. Knezevich, Deborah E. McFadden, Wen Tao, Jerian F. Lim & Poul H.B. Sorensen

Nature Genetics 18, 184–187 (1998) | Download Citation

775 Accesses | 436 Citations | 9 Altmetric | Metrics



20yrs



2018

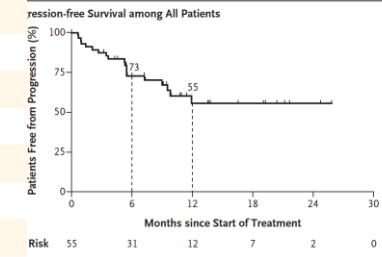
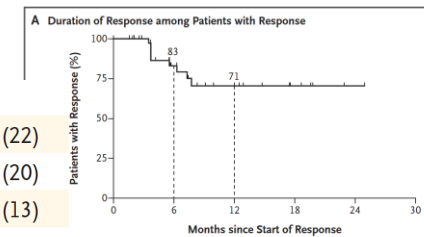
The NEW ENGLAND JOURNAL of MEDICINE

ORIGINAL ARTICLE

## Efficacy of Larotrectinib in TRK Fusion-Positive Cancers in Adults and Children

A. Drilon, T.W. Laetsch, S. Kummar, S.G. DuBois, U.N. Lassen, G.D. Demetri, M. Nathenson, R.C. Doebele, A.F. Farago, A.S. Pappo, B. Turpin, A. Dowlati, M.S. Brose, L. Mascarenhas, N. Federman, J. Berlin, W.S. El-Deiry, C. Baik, J. Deeken, V. Boni, R. Nagasubramanian, M. Taylor, E.R. Rudzinski, F. Meric-Bernstam, D.P.S. Sohal, P.C. Ma, L.E. Raez, J.F. Hechtman, R. Benayed, M. Ladanyi, B.B. Tuch, K. Ebata, S. Cruickshank, N.C. Ku, M.C. Cox, D.S. Hawkins, D.S. Hong, and D.M. Hyman

Tumor type	no. (%)
Salivary-gland tumor	12 (22)
Other soft-tissue sarcoma	11 (20)
Infantile fibrosarcoma	7 (13)
Thyroid tumor	5 (9)
Colon tumor	4 (7)
Lung tumor	4 (7)
Melanoma	4 (7)
GIST	3 (5)
Cholangiocarcinoma	2 (4)
Appendix tumor	1 (2)
Breast tumor	1 (2)
Pancreatic tumor	1 (2)



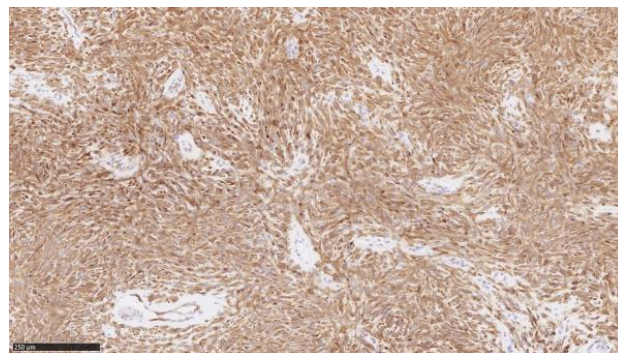
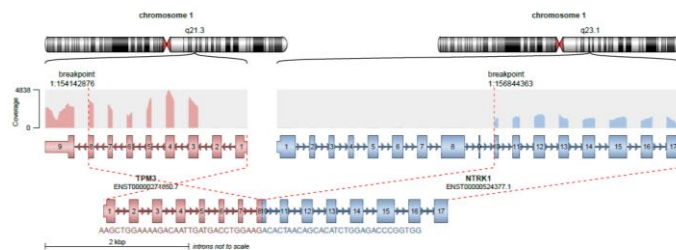
# La success story des inhibiteurs de TRK

Fillette de 4ans

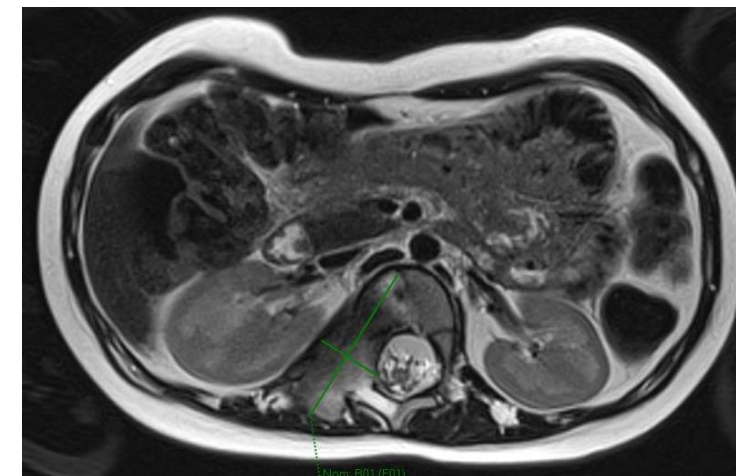


Discussion pluri disciplinaire  
Chirurgie très complexe  
Chimiothérapie laquelle?  
Irradiation mais risque ++ de séquelles

RNAseq  
Fusion **TPM3-NTRK1**

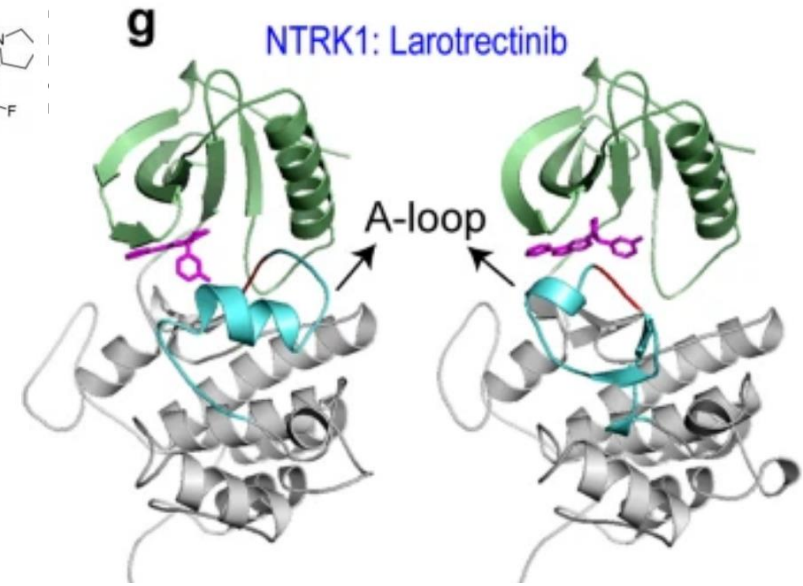
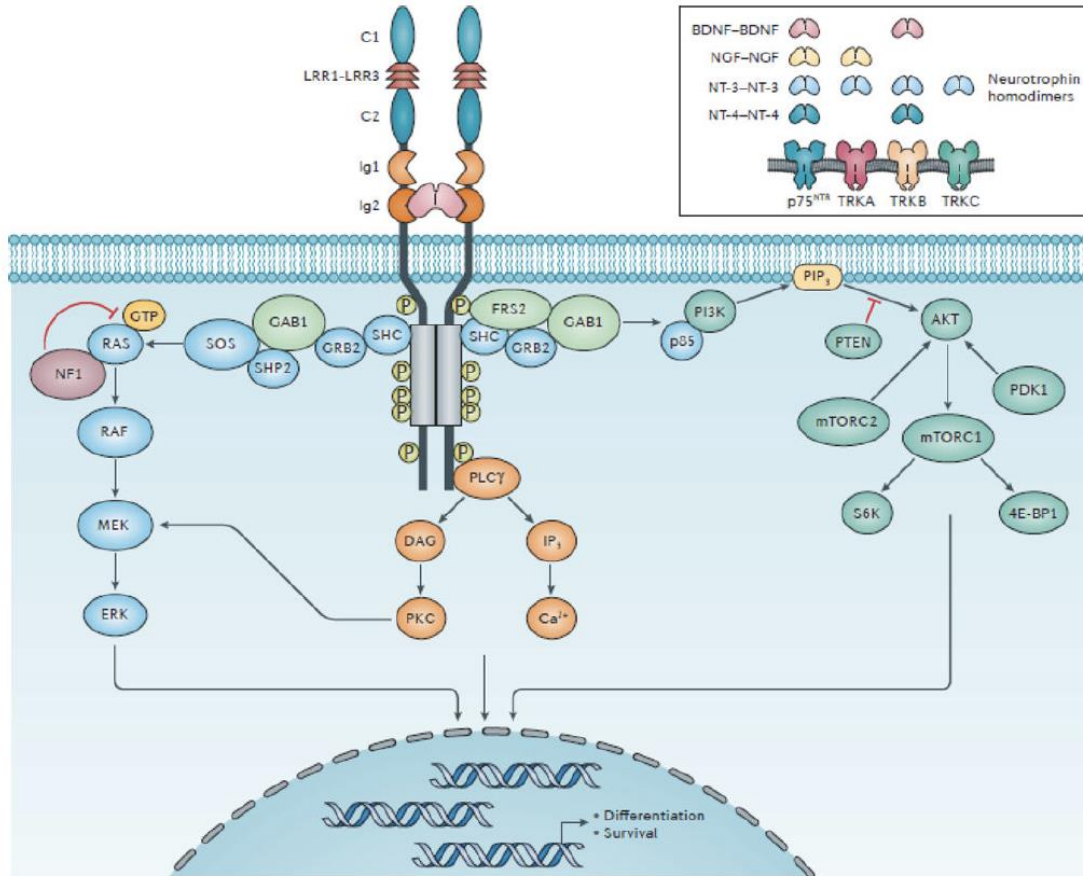
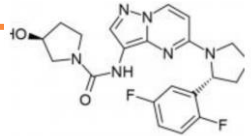


larotrectinib

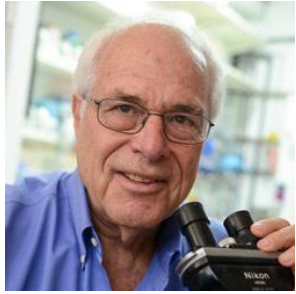


Après 1 mois

# Mecanisme d'action



# La success story du ciblage du CD19 par les CAR-T cells



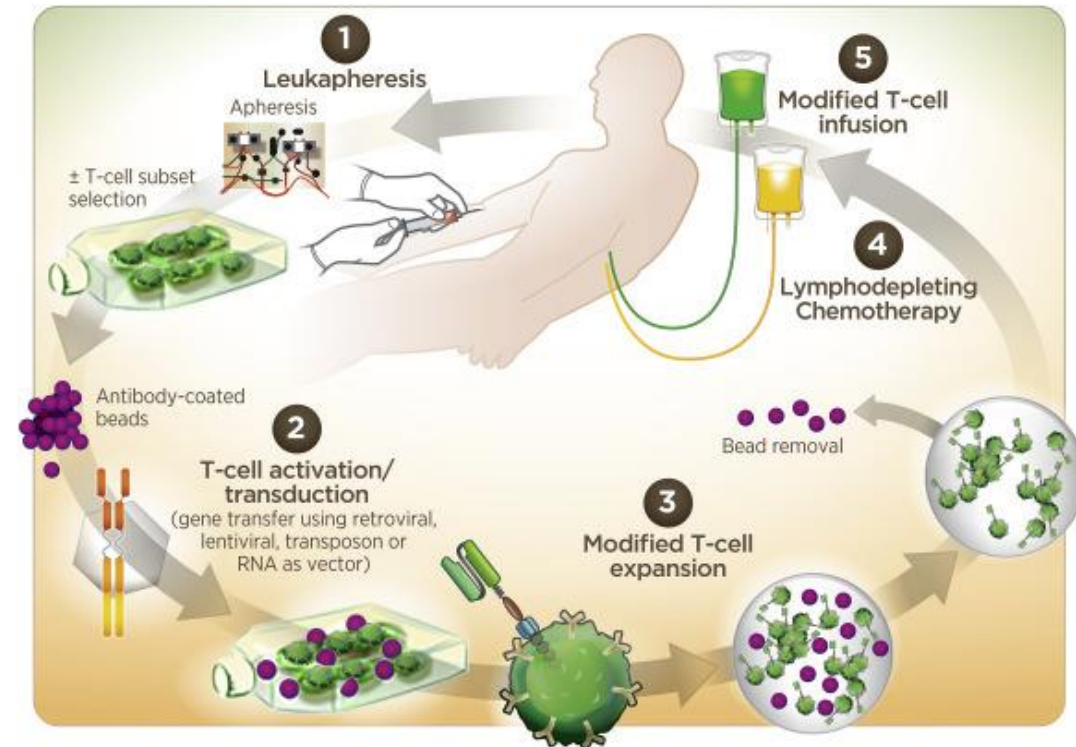
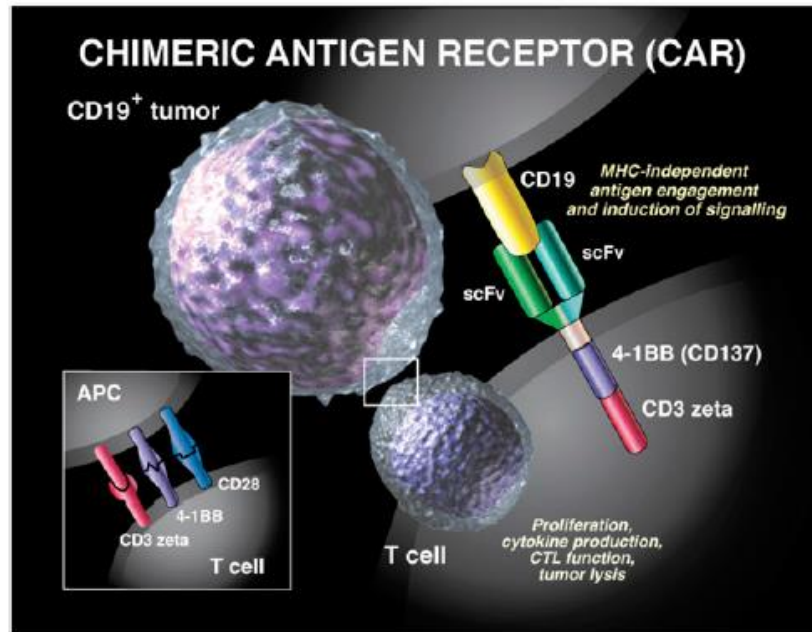
Zelig Eshhar

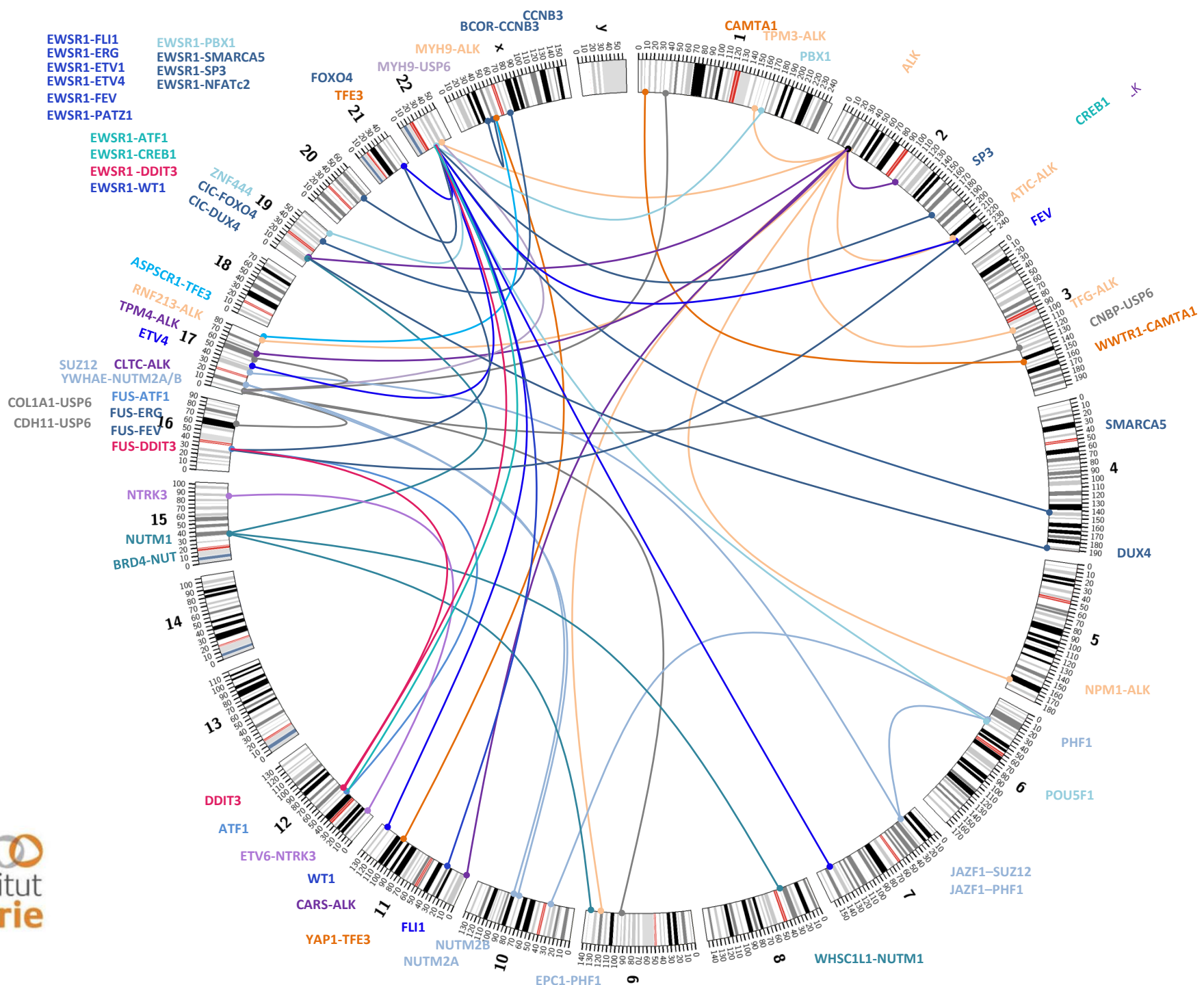
Expression of immunoglobulin-T-cell receptor chimeric molecules as functional receptors with antibody-type specificity  
Gross G, Waks T, [Eshhar Z.](#)  
[Proc Natl Acad Sci USA 1989](#) Dec;86(24):10024-8.



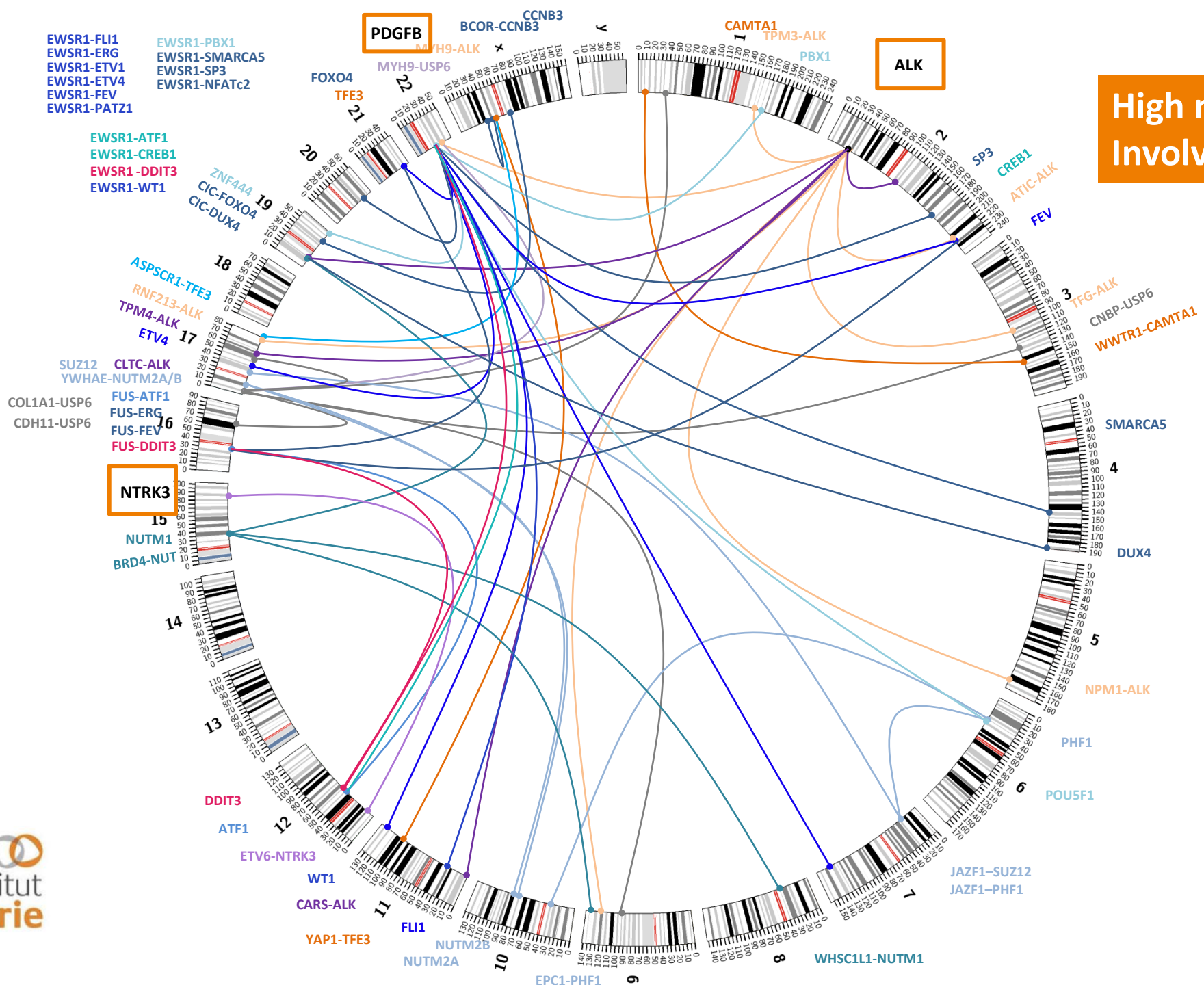
Steve Grupp

Chimeric antigen receptor-modified T cells for acute lymphoid leukemia.  
[Grupp SA, ..., June CH.](#)  
[N Engl J Med 2013](#) Apr 18;368(16):1509-1518.





High number of gene fusions  
Involving transcription factors

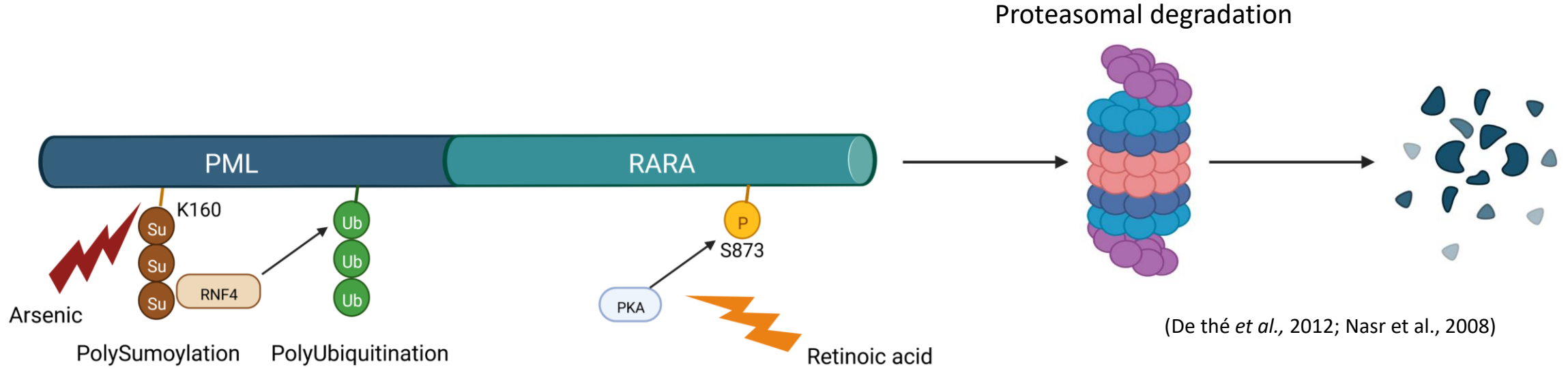




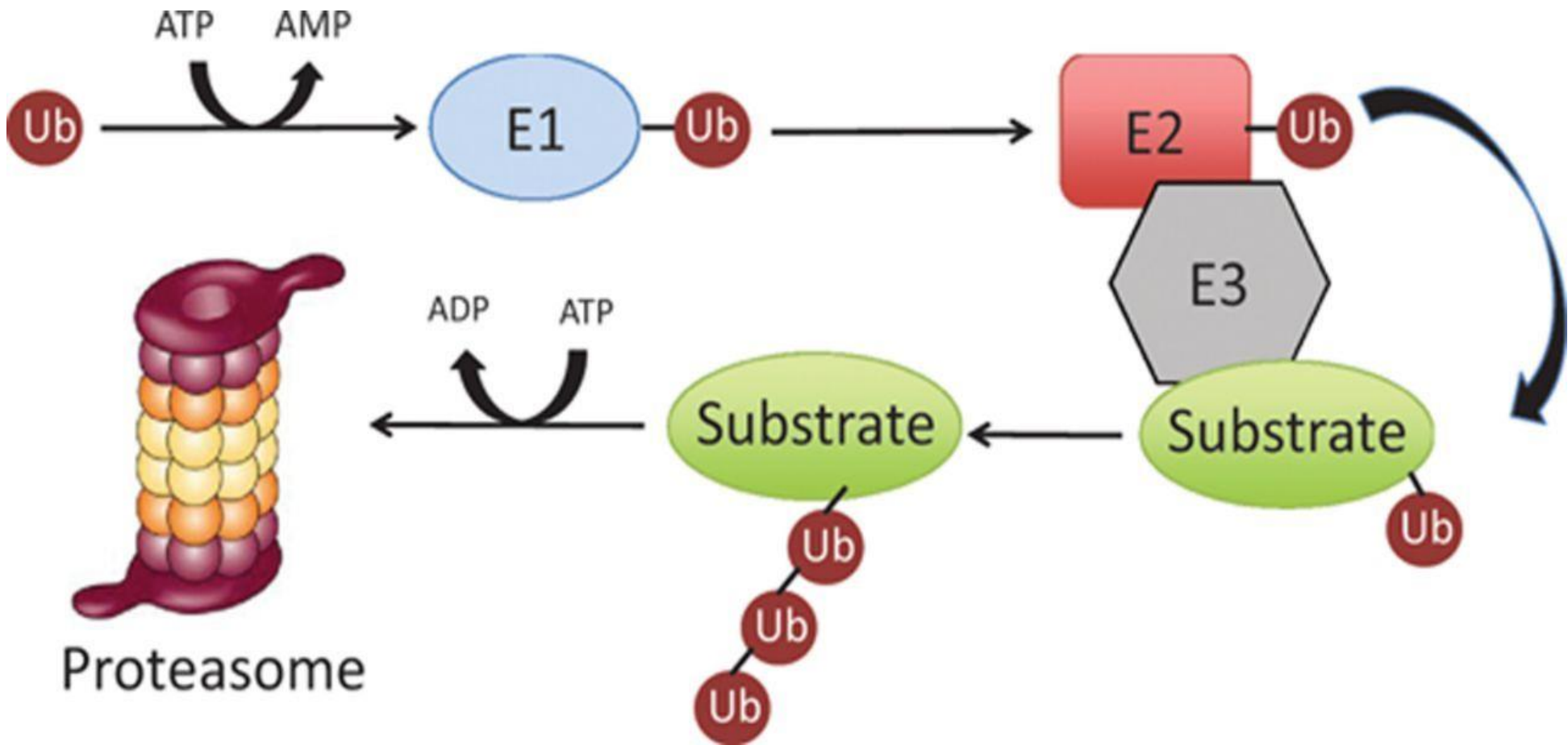
Et si on pouvait dégrader  
les protéines oncogènes,  
“driver” du processus  
tumoral !!

# La success story des leucémies à promyélocytes

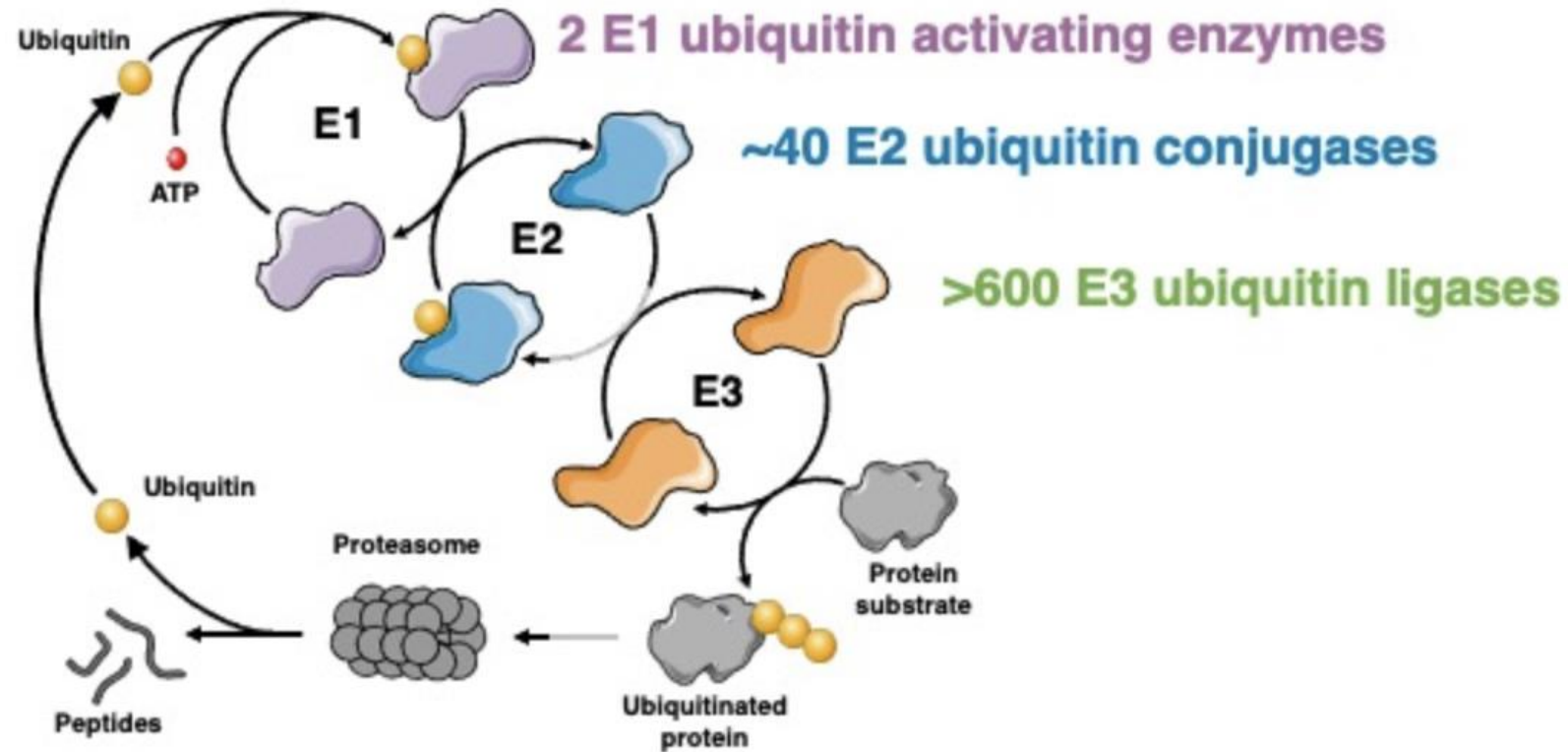
- Arsenic and Retinoic Acid : Proteasomal degradation of PML-RARA
  - **Arsenic**: Degradation through **sumoylation**
  - **Retinoic Acid**: Degradation through **phosphorylation**



# Le système Ubiquitin-Proteasome

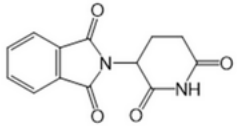


# Le système Ubiquitin-Proteasome

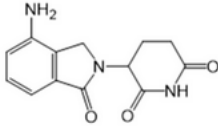


# L'effet tératogène du thalidomide

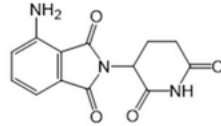
(A) Thalidomide



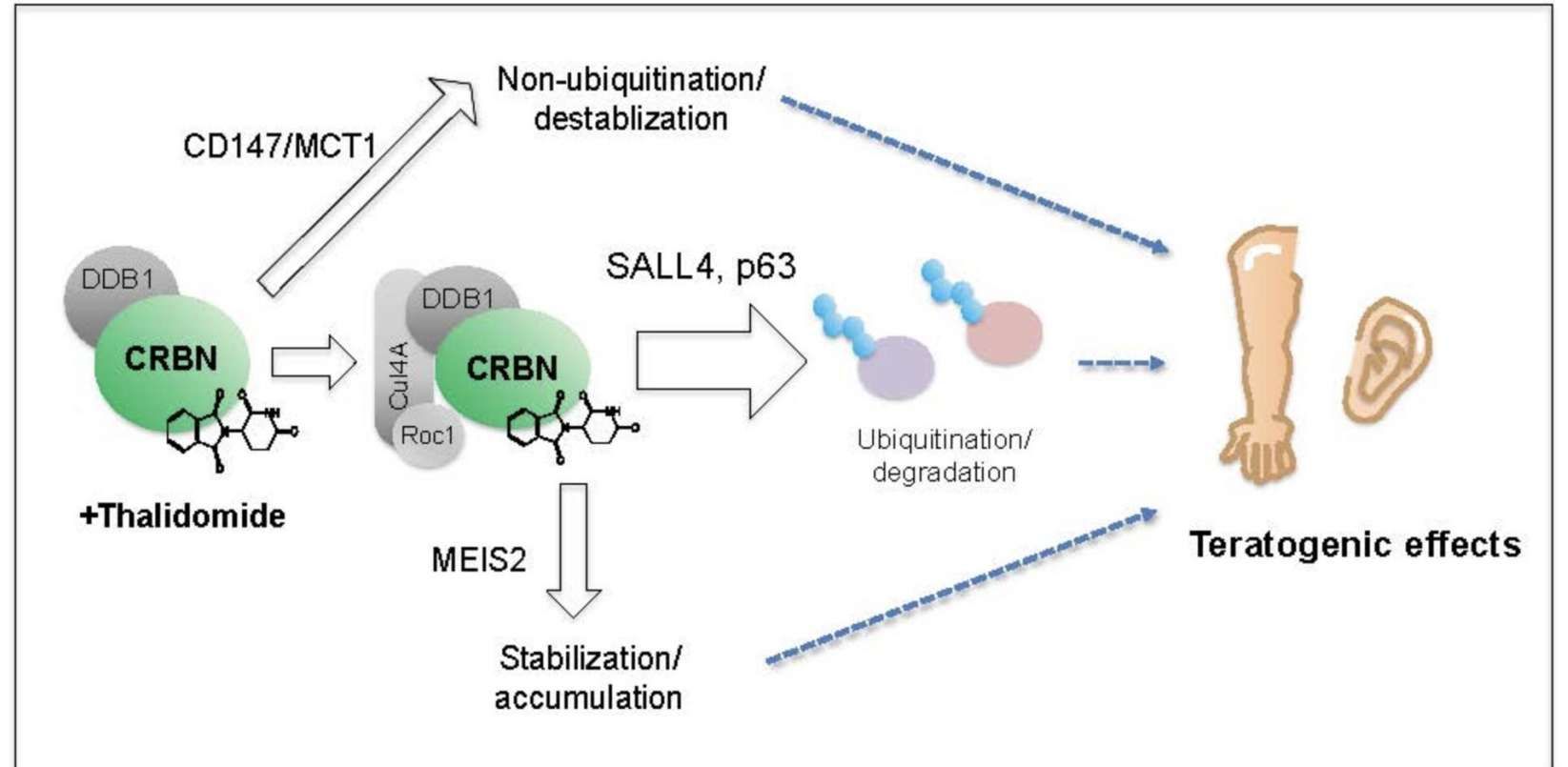
(B) Lenalidomide



(C) Pomalidomide

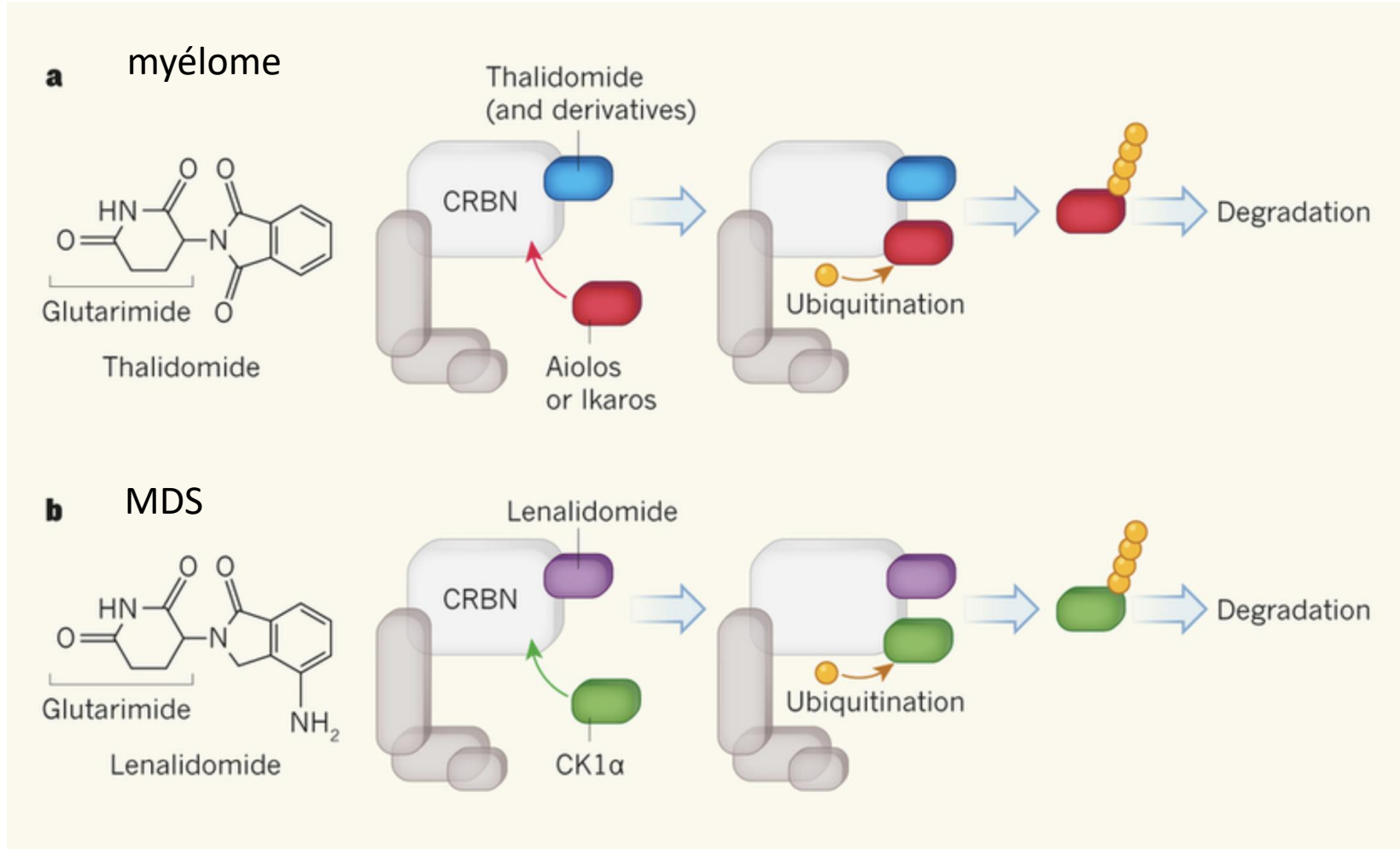


CRBN est une E3-ligase

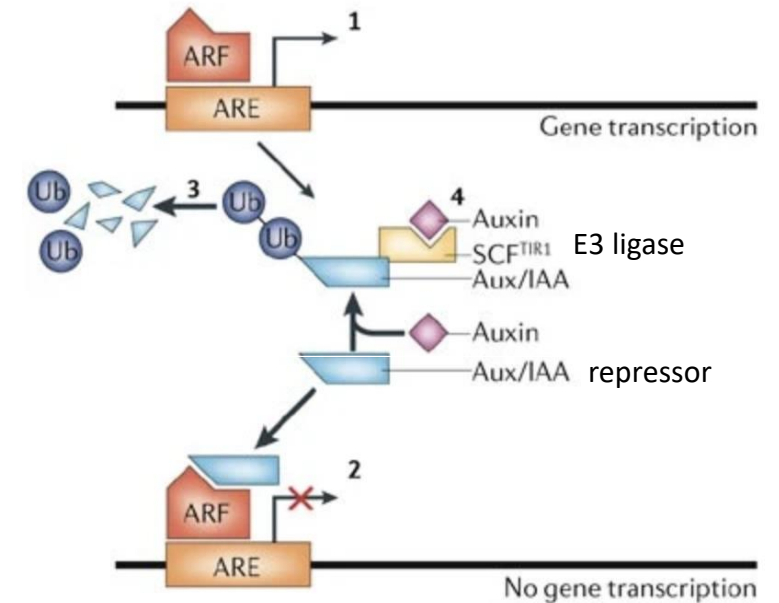
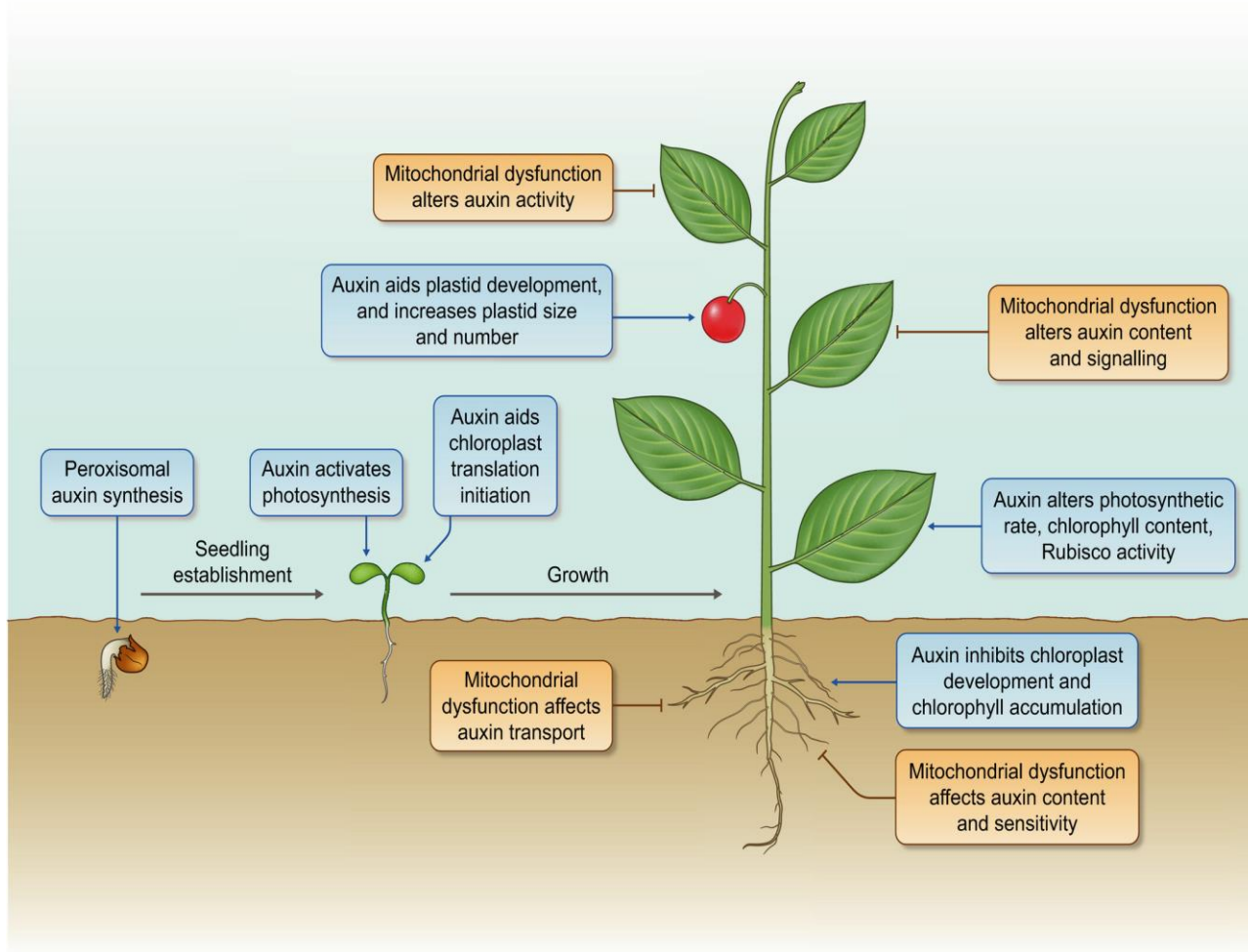


Concept de "molecular glue"

# Thalidomide et dérivés dans les hémopathies malignes



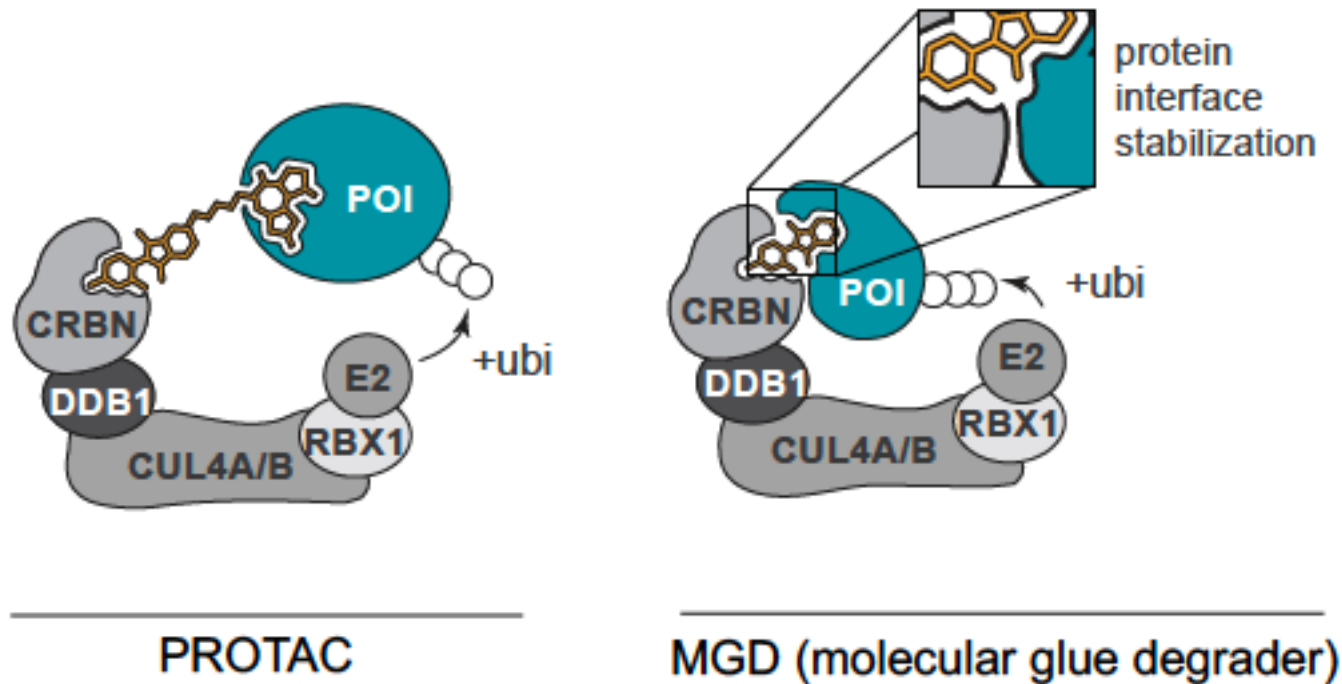
# la phytohormone auxine, le concept de “molecular glues”



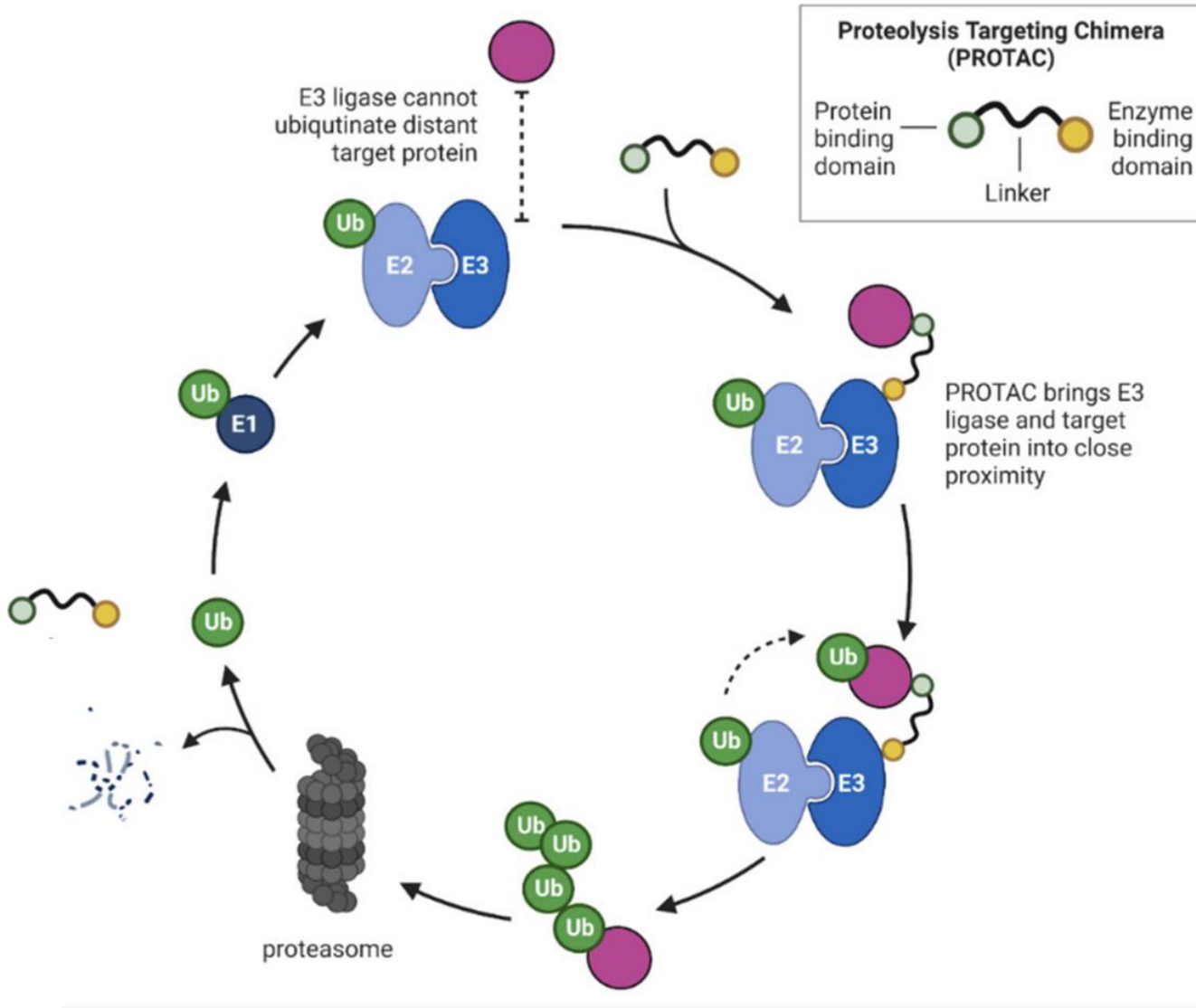
Les exemples précédents montrent le potentiel  
d'une dégradation protéique ciblée (TPD: Targeted Protein Degradation)

---

concepts de "molecular glue" et de PROTAC (PROteolysis-TArgeting Chimeras)



# Le principe des PROTAC



Induire une interaction entre une protéine d'intérêt et une E3-ligase pour induire sa dégradation

Table 1 | **Heterobifunctional PROTAC targeted protein degraders in clinical development**

Company	Degrader	Target	Indications	E3 ligase	ROA	Highest phase	Clinical trial no. (if applicable)
Arvinas	ARV-110	AR	Prostate cancer	CRBN	Oral	Phase II	NCT03888612
Arvinas/Pfizer	ARV-471	ER	Breast cancer	CRBN	Oral	Phase II	NCT04072952
Accutar Biotech	AC682	ER	Breast cancer	CRBN	Oral	Phase I	NCT05080842
Arvinas	ARV-766	AR	Prostate cancer	Undisclosed	Oral	Phase I	NCT05067140
Bristol Myers Squibb	CC-94676	AR	Prostate cancer	CRBN	Oral	Phase I	NCT04428788
Dialectic Therapeutics	DT2216	BCL-x <sub>L</sub>	Liquid and solid tumours	VHL	I.v.	Phase I	NCT04886622
Foghorn Therapeutics	FHD-609	BRD9	Synovial sarcoma	Undisclosed	I.v.	Phase I	NCT04965753
Kymera/Sanofi	KT-474	IRAK4	Autoimmune diseases (e.g., AD, HS, RA)	Undisclosed	Oral	Phase I	NCT04772885
Kymera	KT-413	IRAK4	Diffuse large B cell lymphoma (MYD88-mutant)	CRBN	I.v.	Phase I	
Kymera	KT-333	STAT3	Liquid and solid tumours	Undisclosed	Undisclosed	Phase I	
Nurix Therapeutics	NX-2127	BTK	B cell malignancies	CRBN	Oral	Phase I	NCT04830137
Nurix Therapeutics	NX-5948	BTK	B cell malignancies and autoimmune diseases	CRBN	Oral	Phase I	NCT05131022
C4 Therapeutics	CFT8634	BRD9	Synovial sarcoma	CRBN	Oral	IND-e	
C4 Therapeutics	CFT8919	EGFR-L858R	Non-small-cell lung cancer	CRBN	Oral	IND-e	
Cullgen	CG001419	TRK	Cancer and other indications	CRBN	Oral	IND-e	

# Applications en oncologie pédiatrique

---

Dégradation de protéines oncogènes bien caractérisée:

Tumeurs solides MYCN, EWSR1-FLI1, PAX3/7-FOXO1, EWSR1-WT1, ALK...

Protéines de fusion des leucémies, lymphomes

Dégradation des partenaires indispensables à l'action des protéines oncogènes

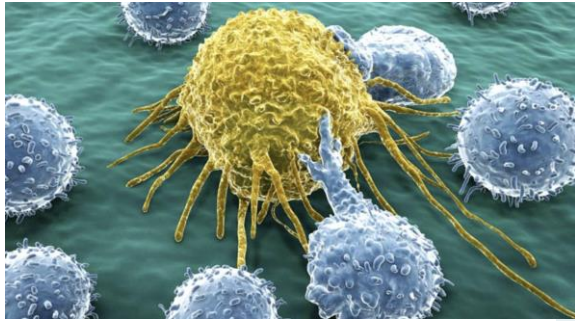
Complexe SWI/SNF, histone acétyl transférase...

Ligands de E3 ligases bien connus pour VHL (HIF1 $\alpha$  mimétiques) et CRBN (dérivés du thalidomide)

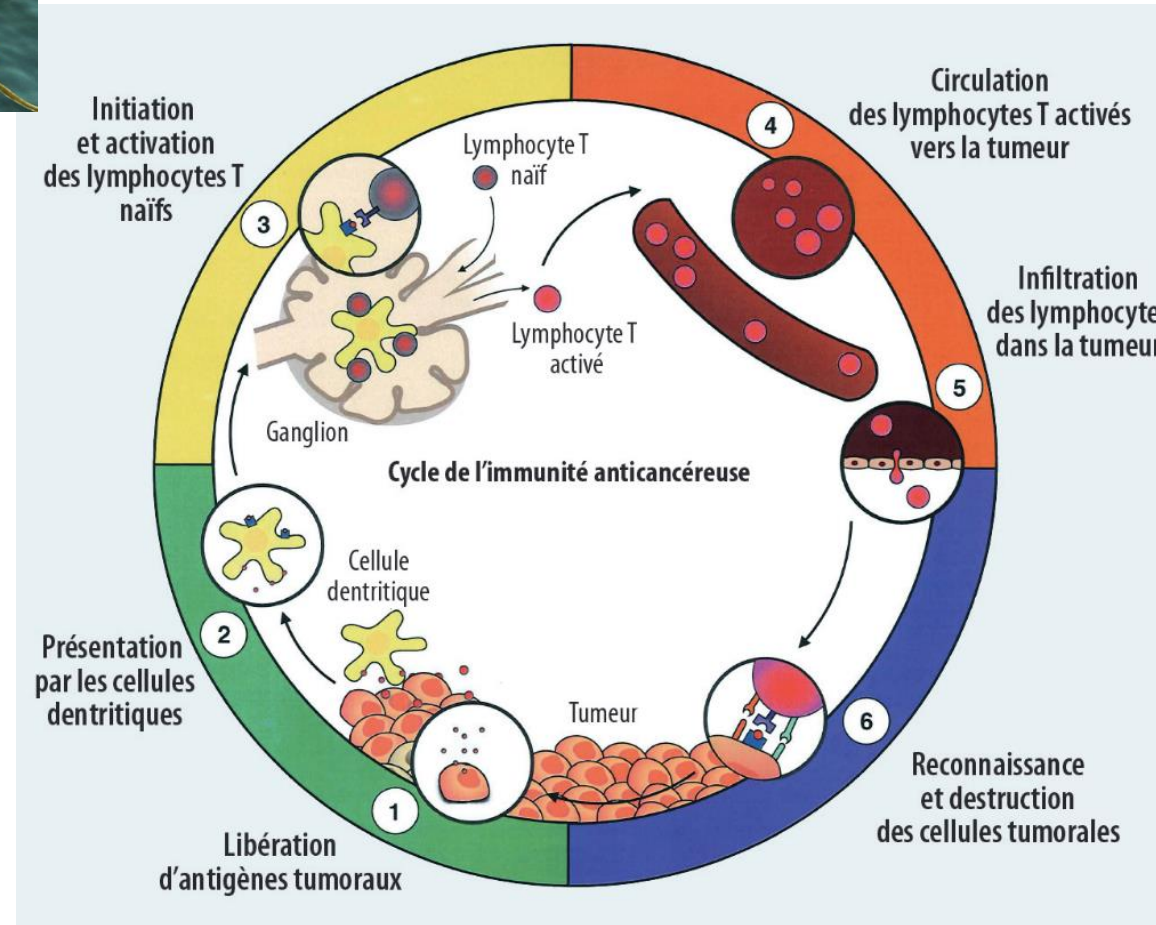
Ligands des protéines d'intérêt:

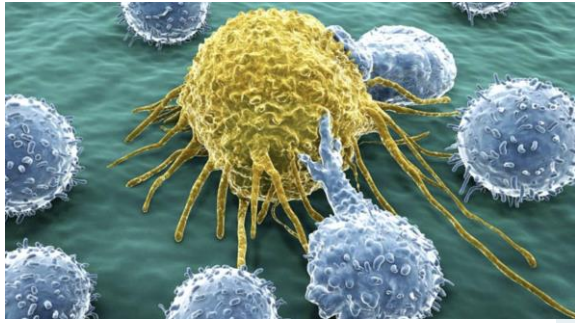
ligands connus (hormones, inhibiteurs, ...)

criblage en cours pour de nombreuses protéines (DNA-encoded chemical libraries)

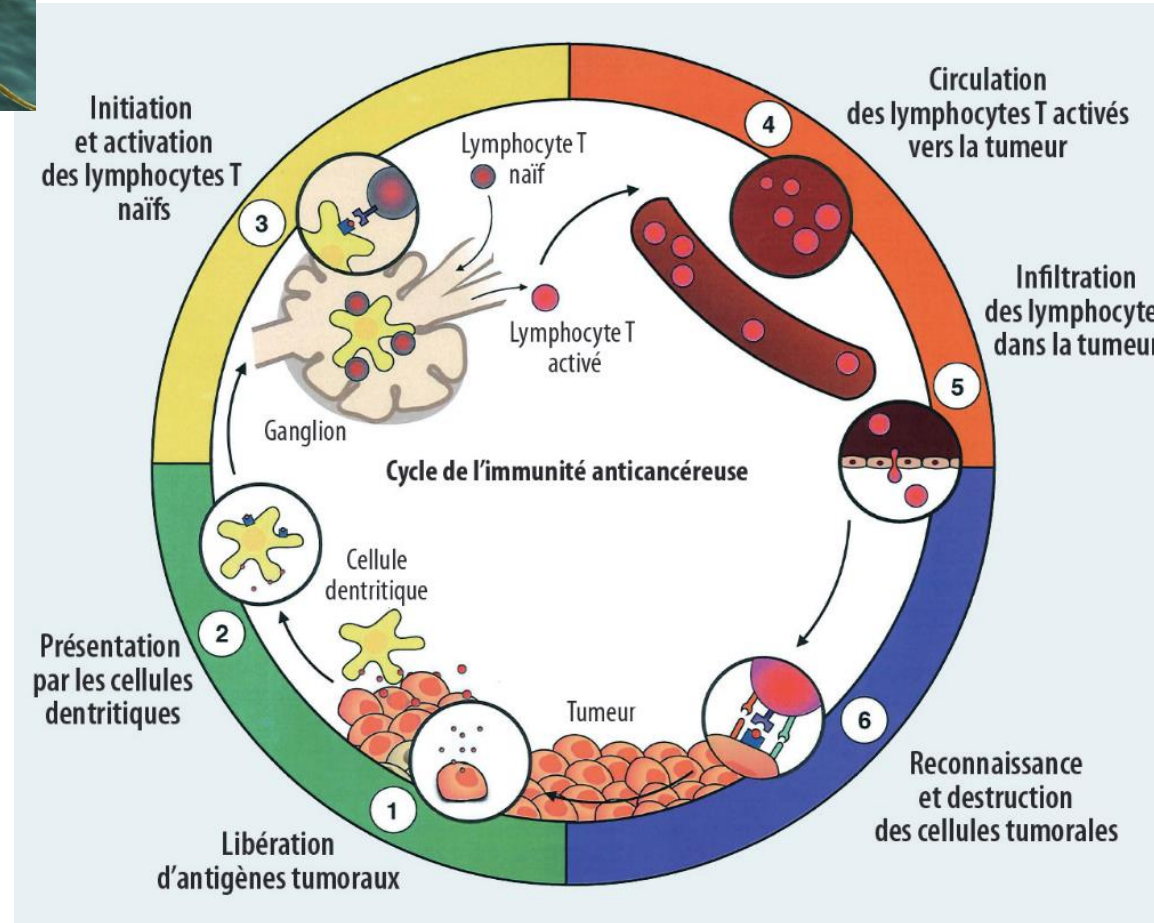


# La réponse immunitaire anti tumorale



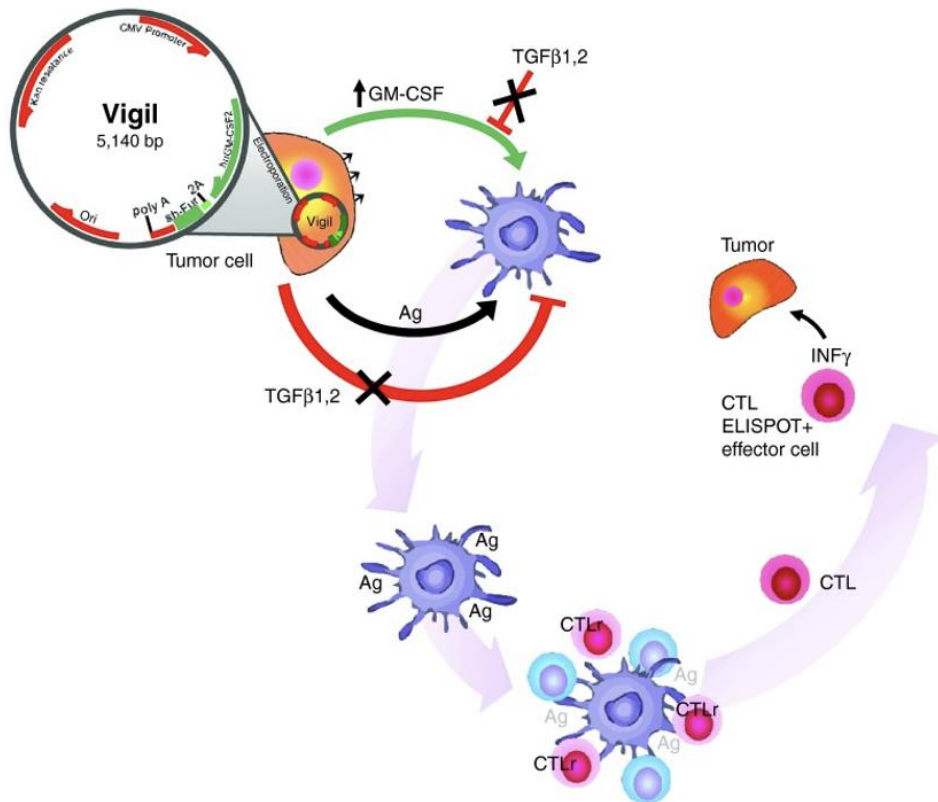
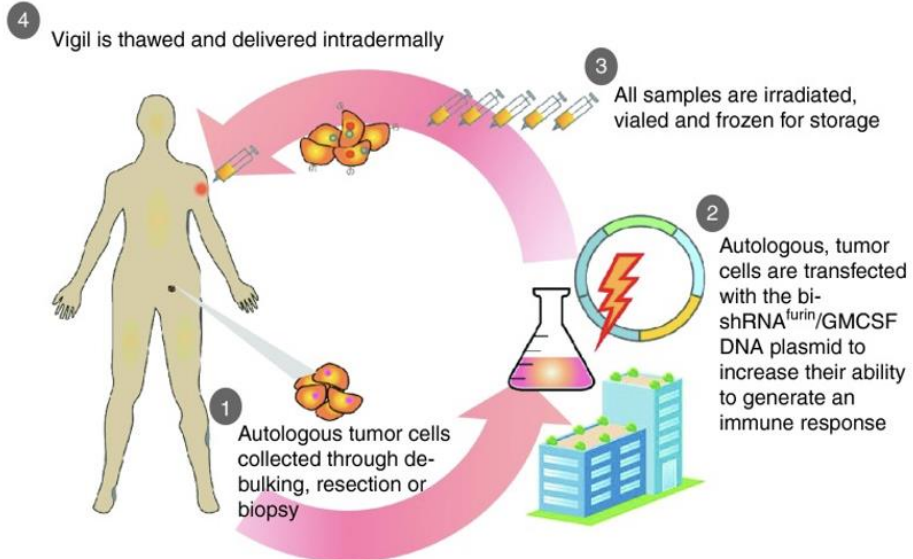


# Quelques stratégies d'immunothérapie

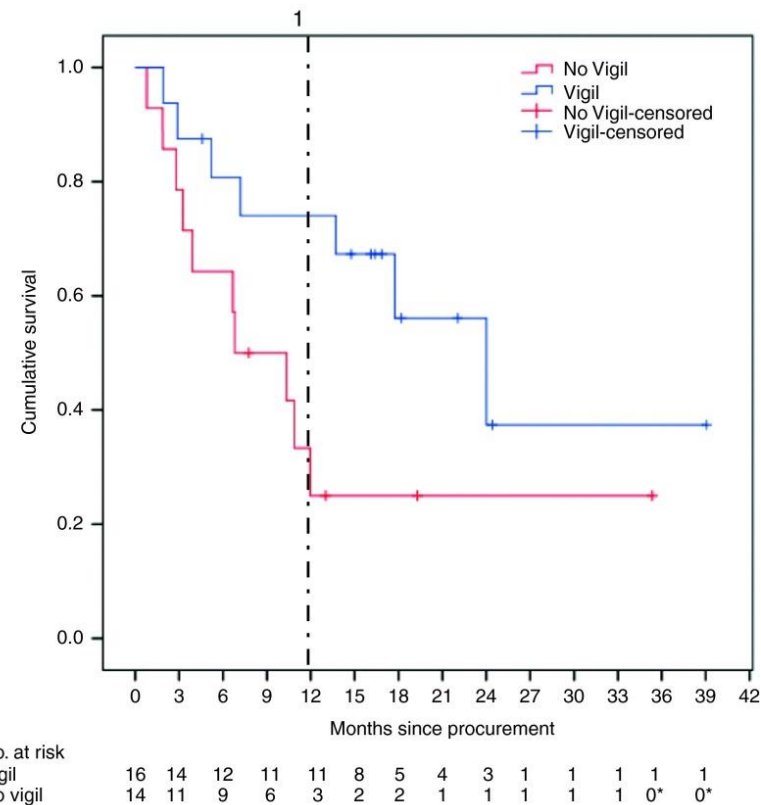


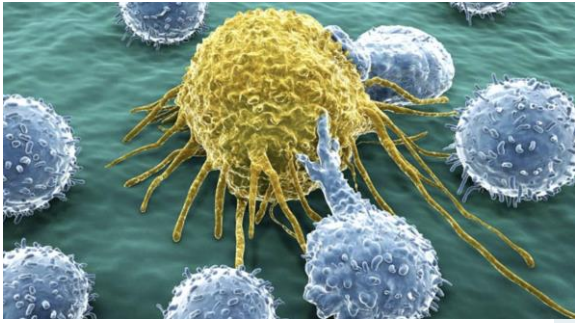
Vaccination sur néoantigènes mutationnels rares en oncologie pédiatrique

Vaccination  
Pour "forcer"  
La reconnaissance des Ag tumoraux

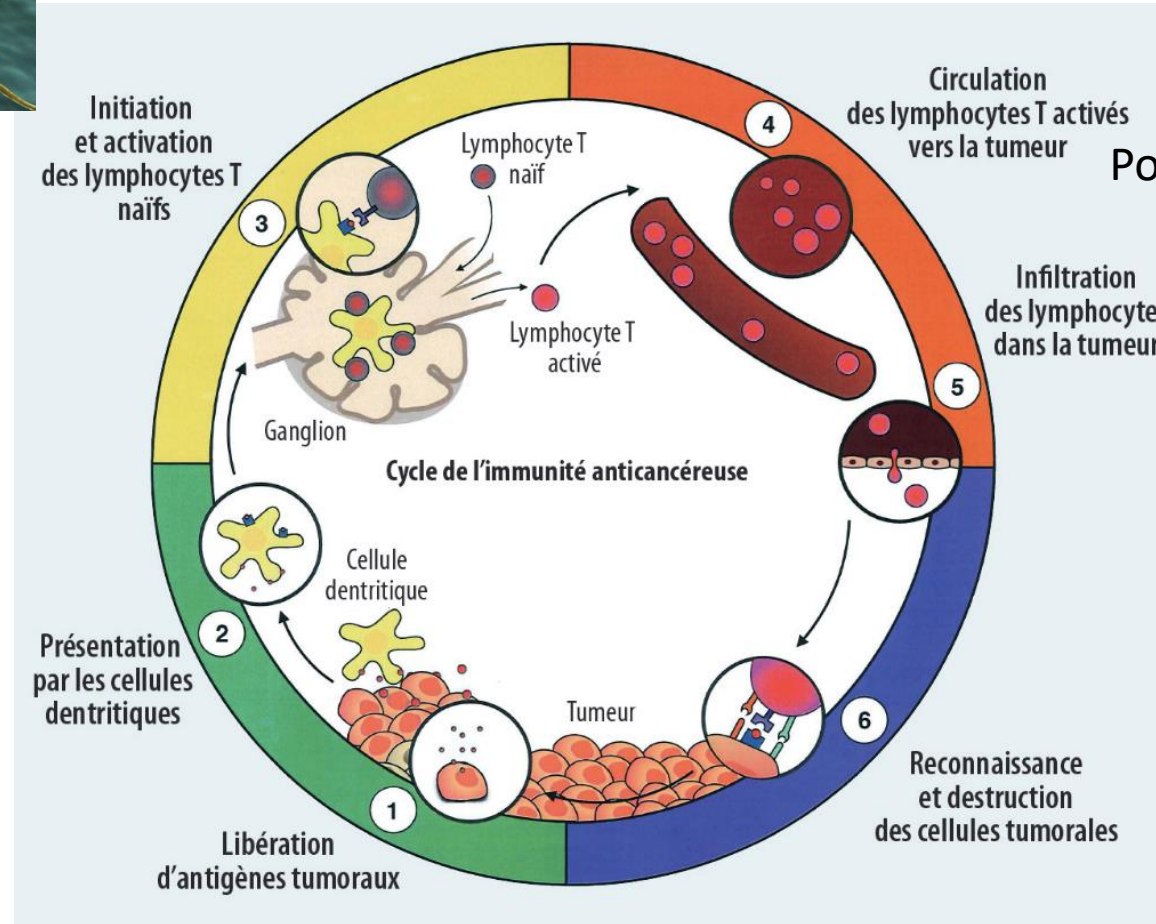
**a****b**

Vigil (a vaccine using autologous tumor cells modified to stimulate antigen presentation) shows efficacy in Ewing sarcoma patients



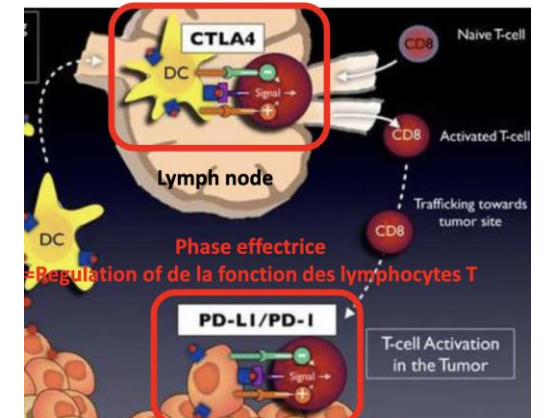


# Quelques stratégies d'immunothérapie

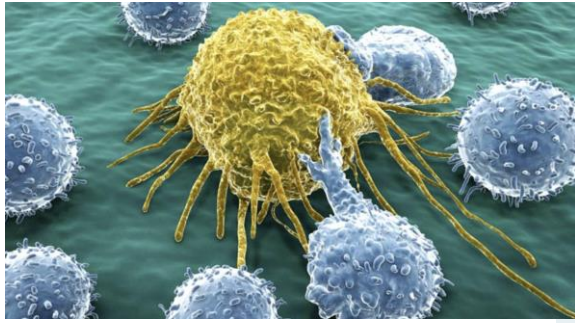


## Immune checkpoint Inhibitors

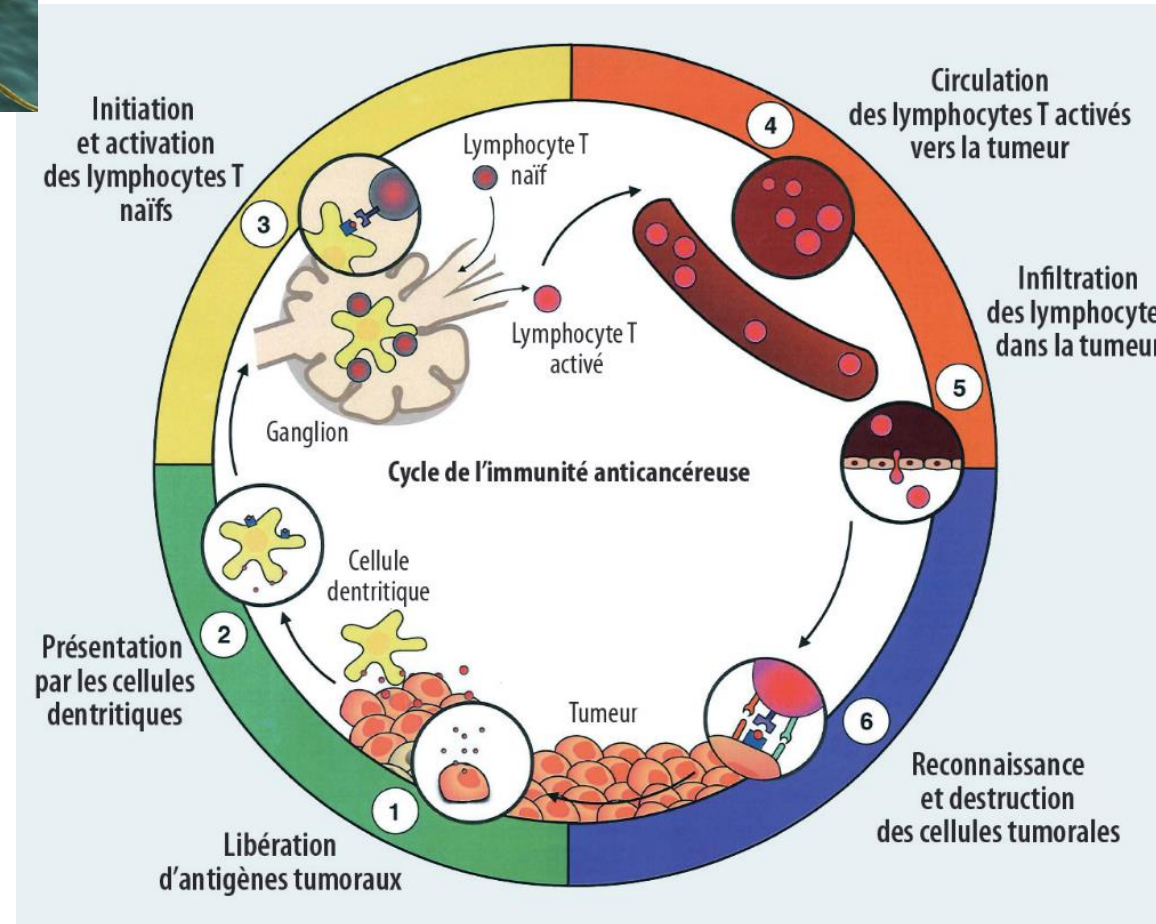
Pour réactiver le système immunitaire



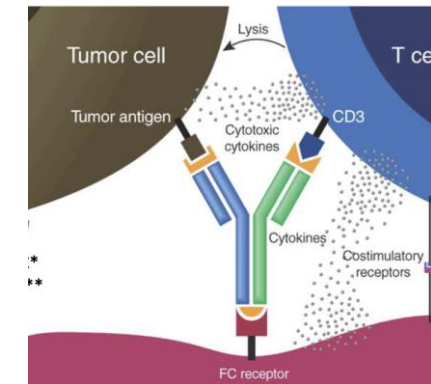
Peu d'efficacité dans les cancers pédiatriques (MDH, CMMRD, SMARCB1)



# Quelques stratégies d'immunothérapie

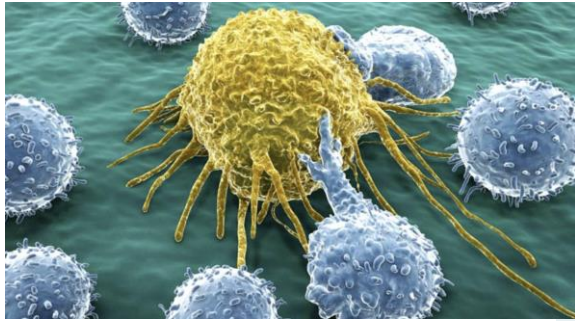


## Bispecific T-cell engager

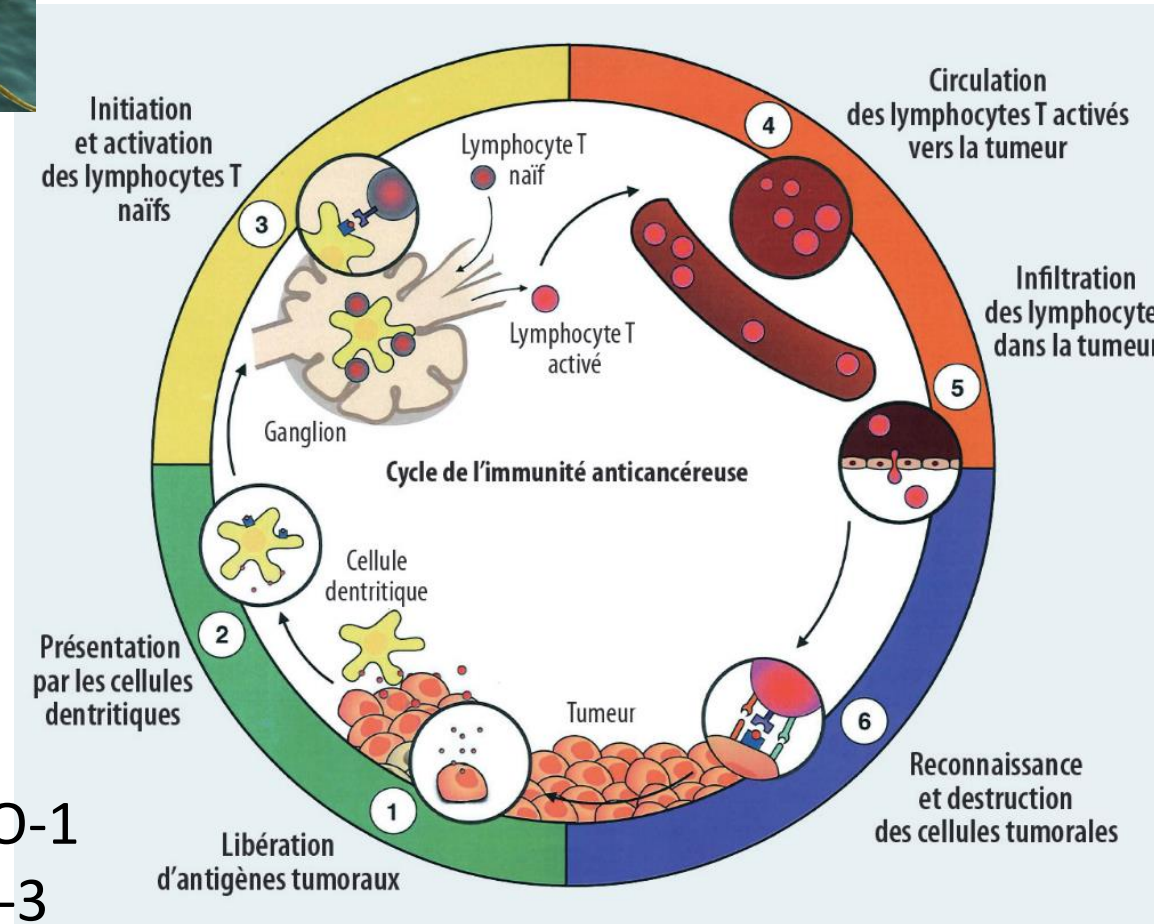


3F8-bispecific (GD2-CD3) antibody in Nb, OS...

NCT03860207

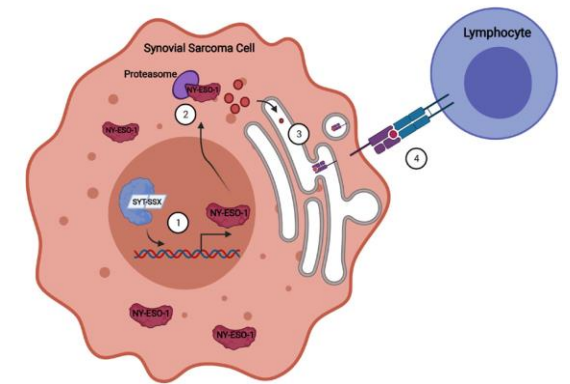


# Quelques stratégies d'immunothérapie



NY-ESO-1  
MAGE-3

## TCR T-Cells



Nombreux essais cliniques  
Dans synoviosarcome

ORIGINAL ARTICLE

# GD2-CART01 for Relapsed or Refractory High-Risk Neuroblastoma

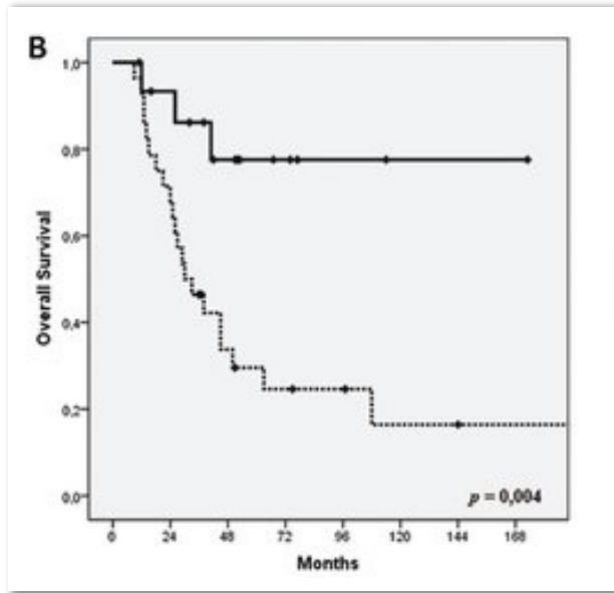
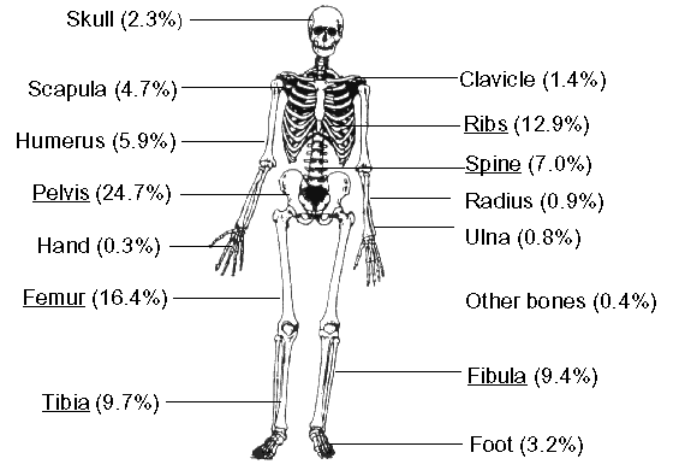
F. Del Bufalo, B. De Angelis, I. Caruana, G. Del Baldo, M.A. De Ioris, A. Serra, A. Mastronuzzi, M.G. Cefalo, D. Pagliara, M. Amicucci, G. Li Pira, G. Leone, V. Bertaina, M. Sinibaldi, S. Di Cecca, M. Guercio, Z. Abbaszadeh, L. Iaffaldano, M. Gunetti, S. Iacovelli, R. Bugianesi, S. Macchia, M. Algeri, P. Merli, F. Galaverna, R. Abbas, M.C. Garganese, M.F. Villani, G.S. Colafati, F. Bonetti, M. Rabusin, K. Perruccio, V. Folsi, C. Quintarelli, and F. Locatelli, for the Precision Medicine Team—IRCCS Ospedale Pediatrico Bambino Gesù\*

# CAR-T en essais cliniques en oncopédiatrie

---

GD2	Neuroblastome Tumeurs cérébrales
HER2	Tumeurs cérébrales
B7-H3	Tumeurs cérébrales Tumeurs solides
EGFR	Tumeurs cérébrales
CD171	Neuroblastome
CD22	B-cell malignancies
Glypican-3	Tumeurs solides
CD7	T-ALL
CD19	T-ALL
CD30	MDH
CD123	Tumeurs solides

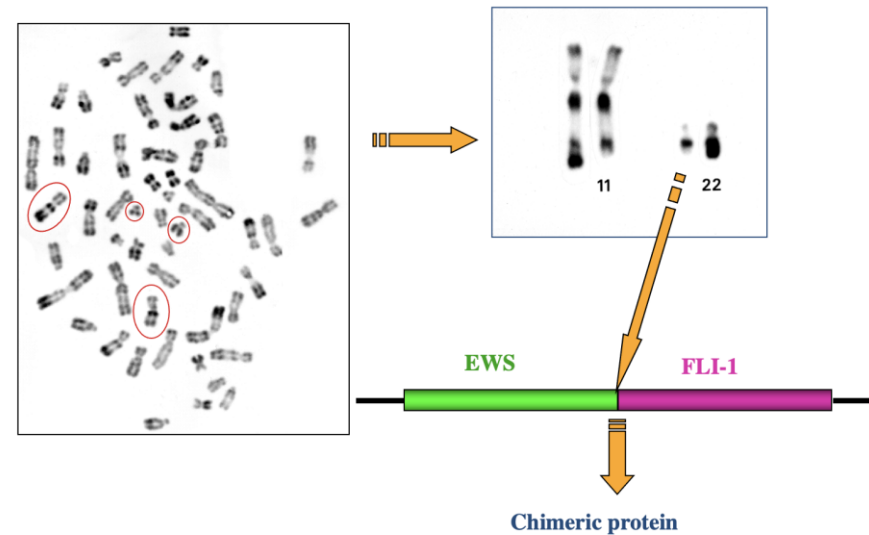
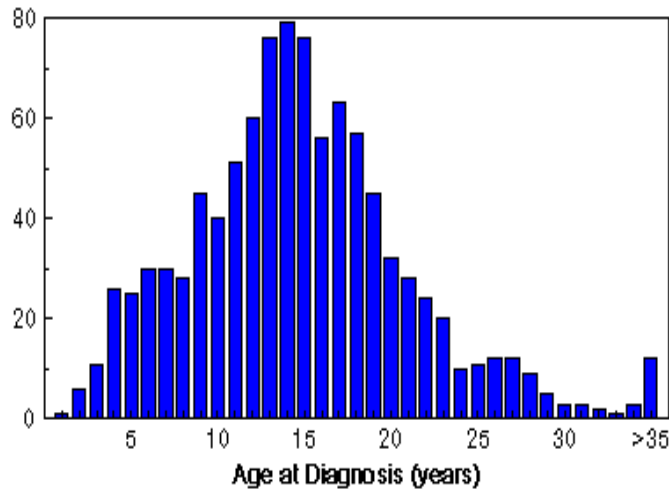
# Ewing sarcoma



No met

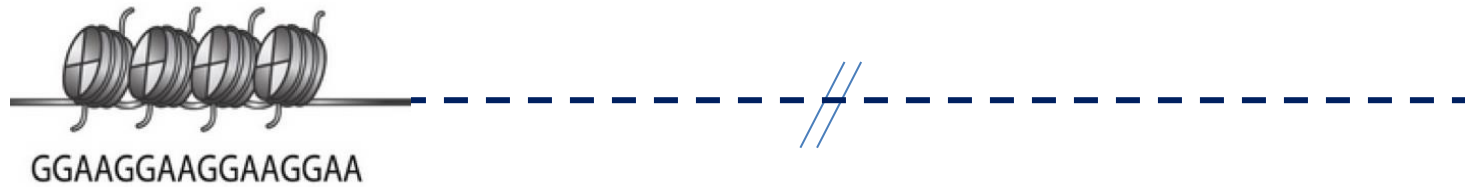
Met

Number of Patients

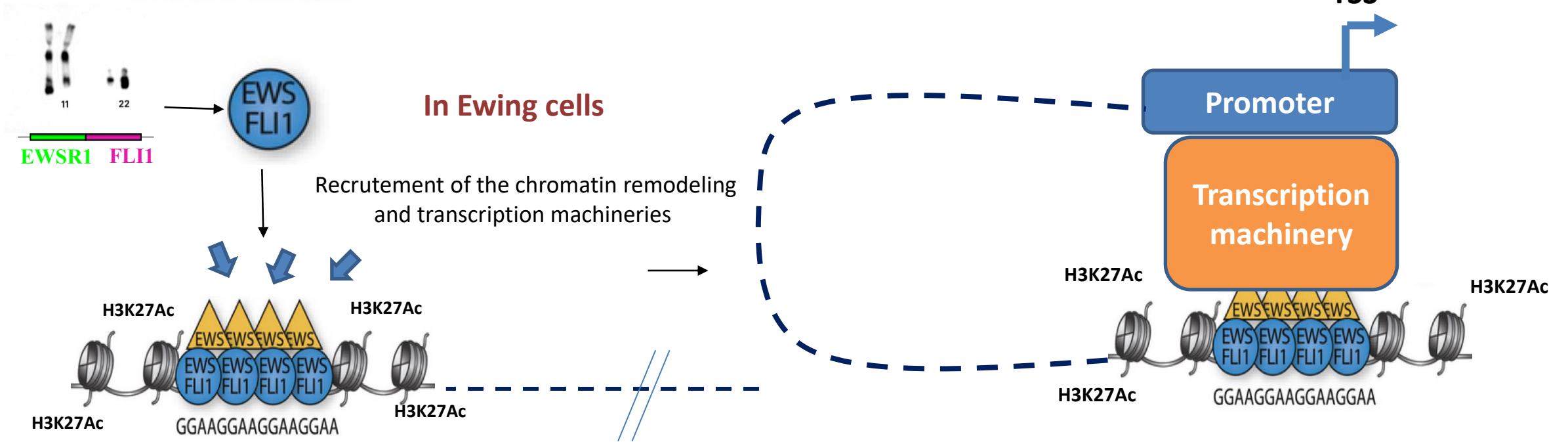


# EWSR1-FLI1 creates neo enhancers at GGAA repeats

In the cell of origin



In Ewing cells

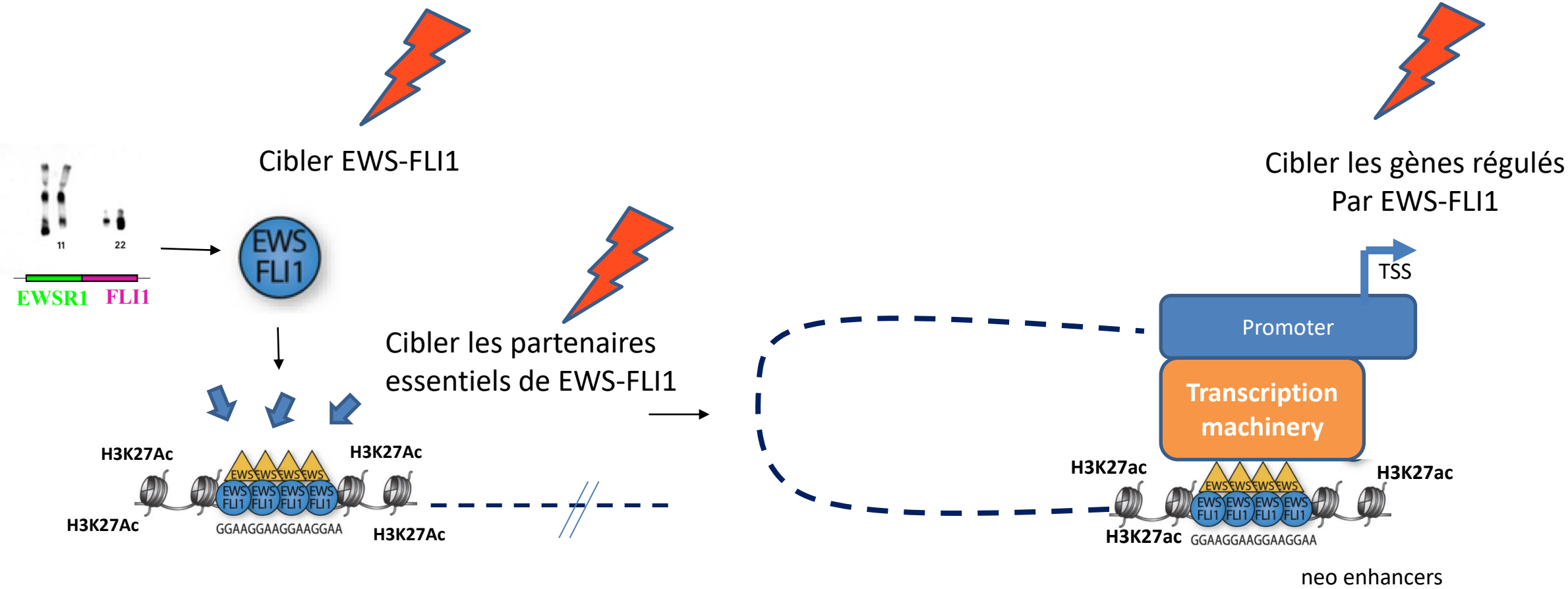


neo enhancers

Complete cell reprogramming

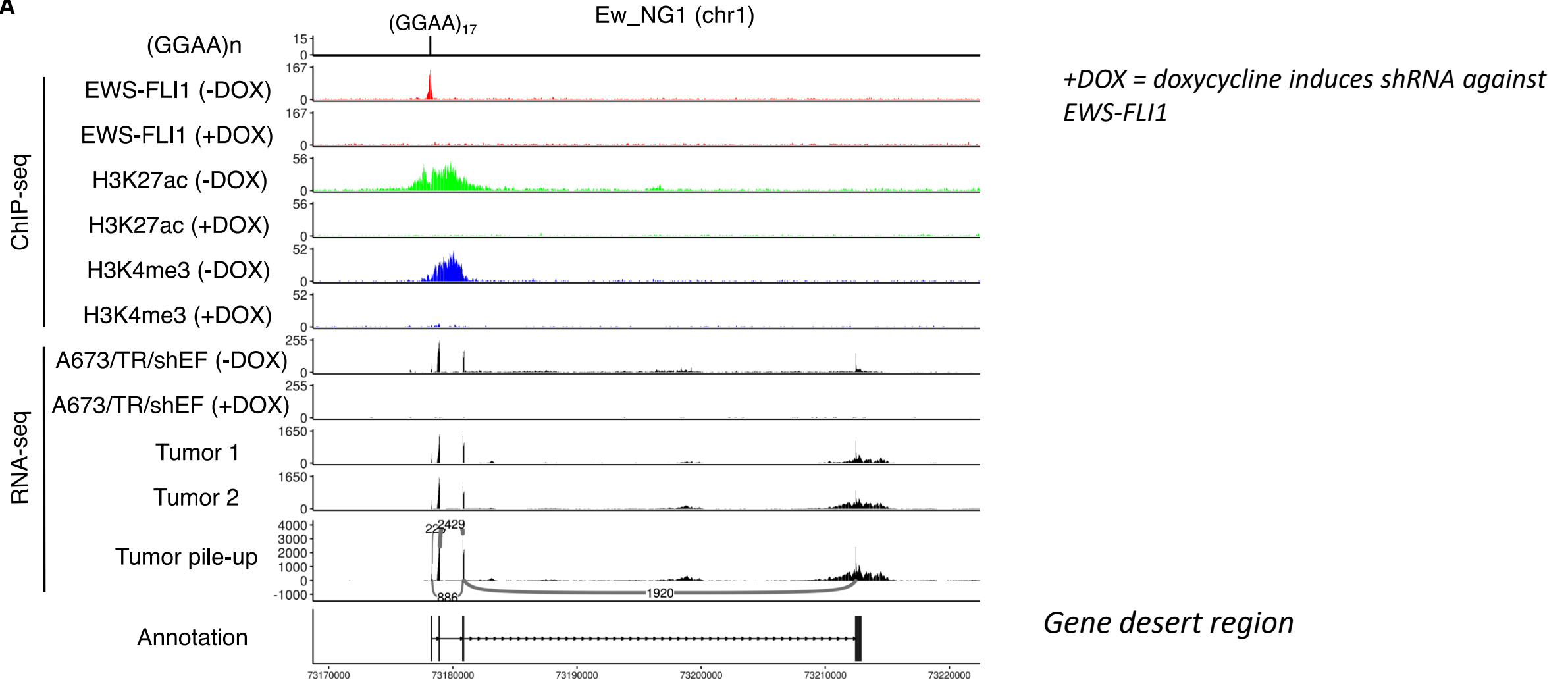
Chong et al, Science, 2018  
Boulay et al, Cell, 2017

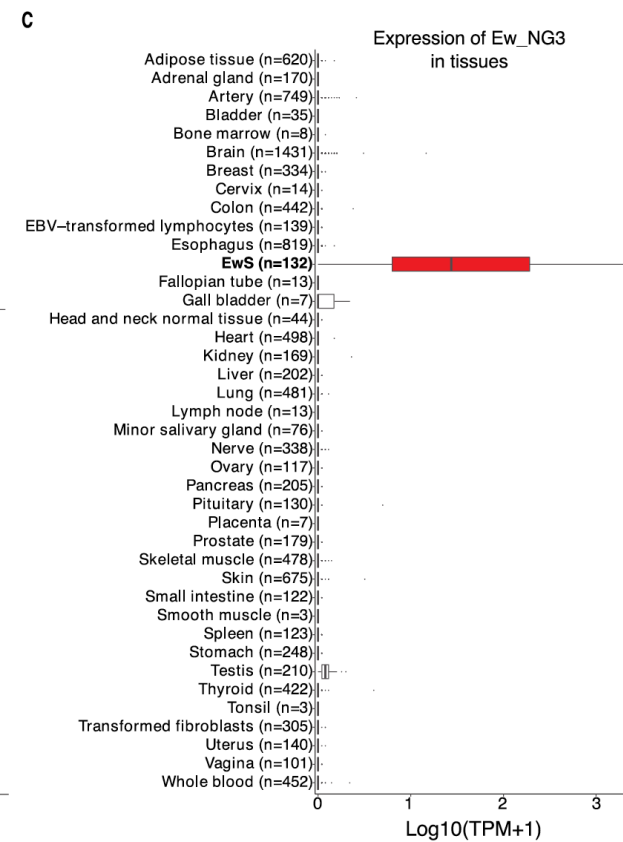
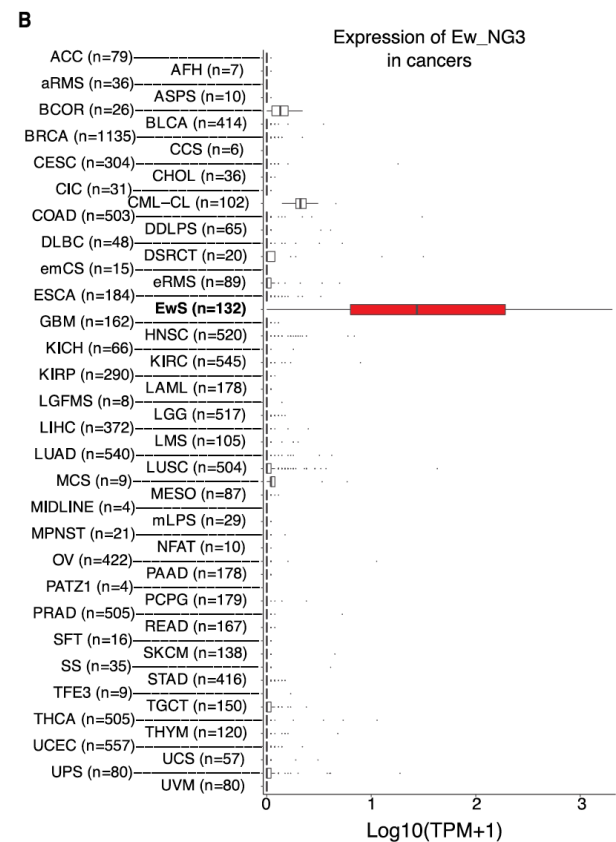
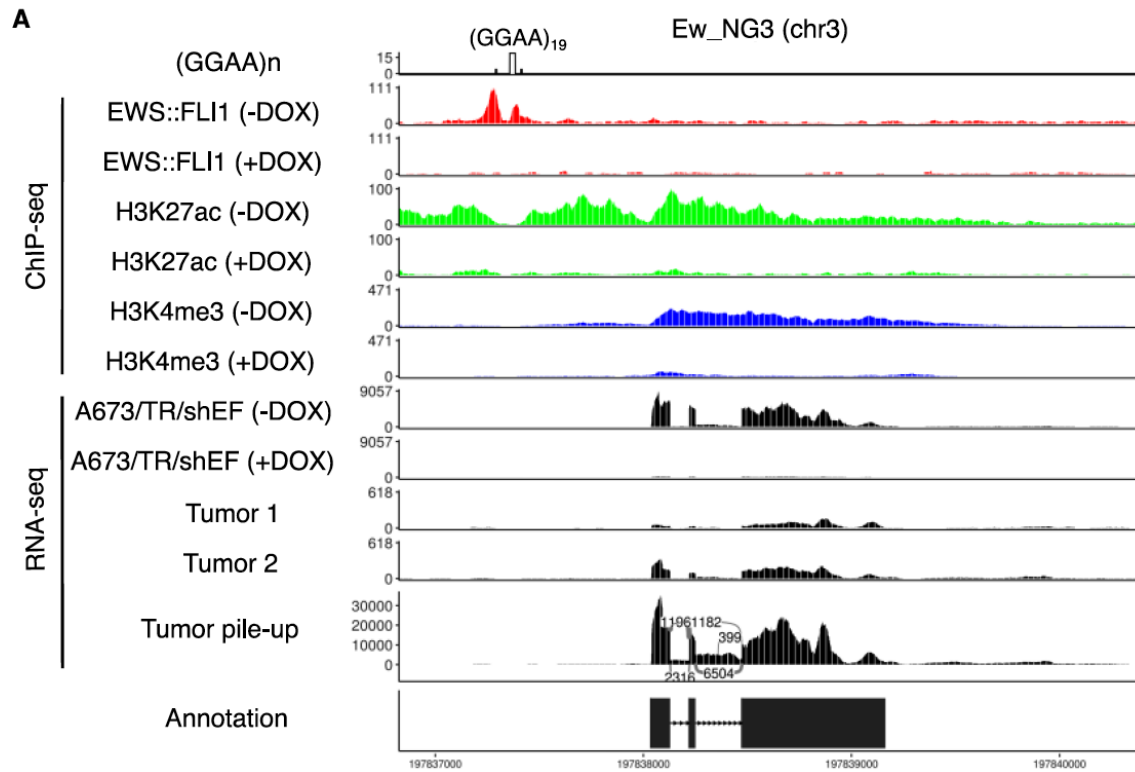
# Voies de recherche pour une thérapie ciblée sur EWS-FLI1



# Identification of new genes in Ewing sarcoma in gene desert regions

A

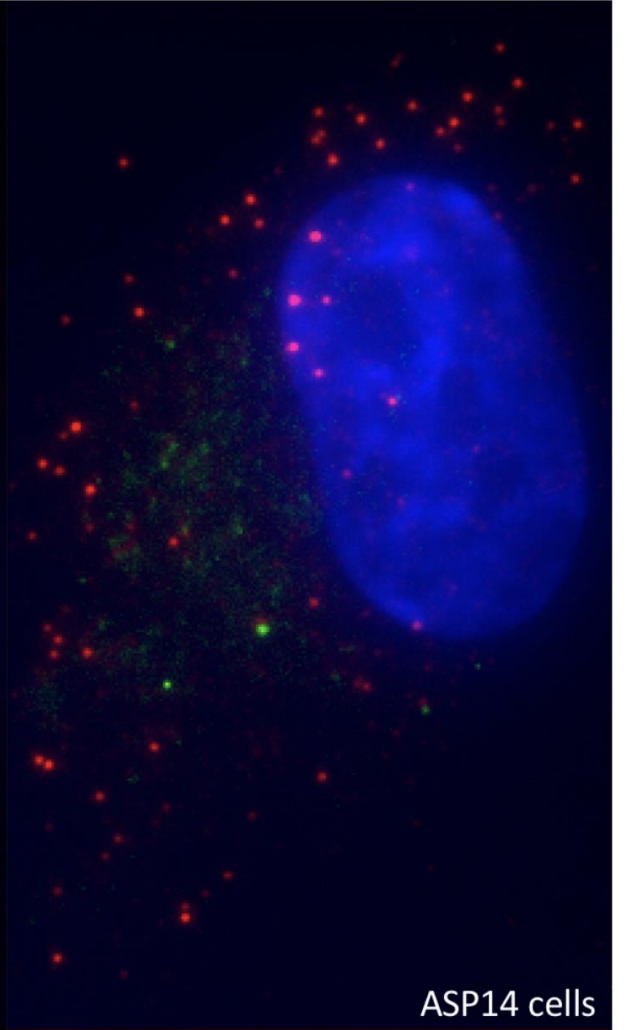
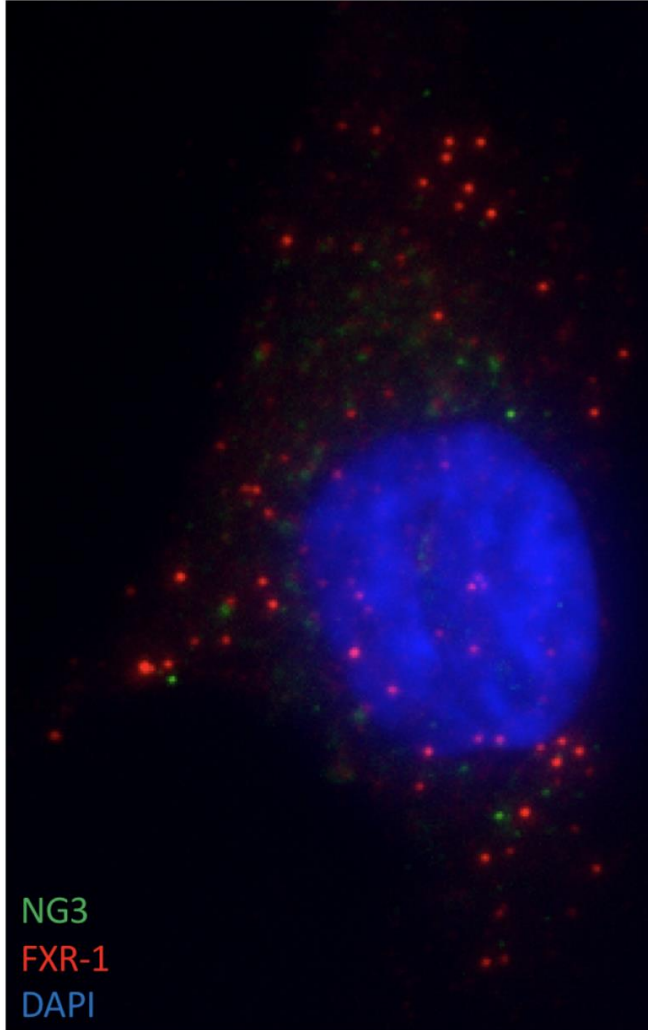
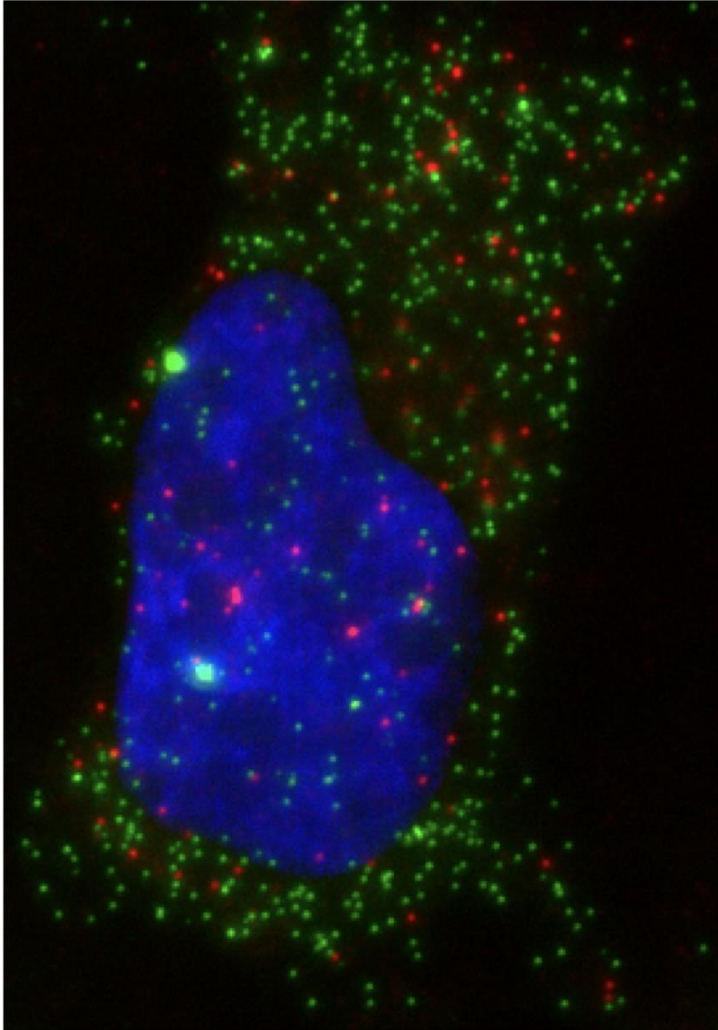




-DOX

+DOX

RNA  
FISH

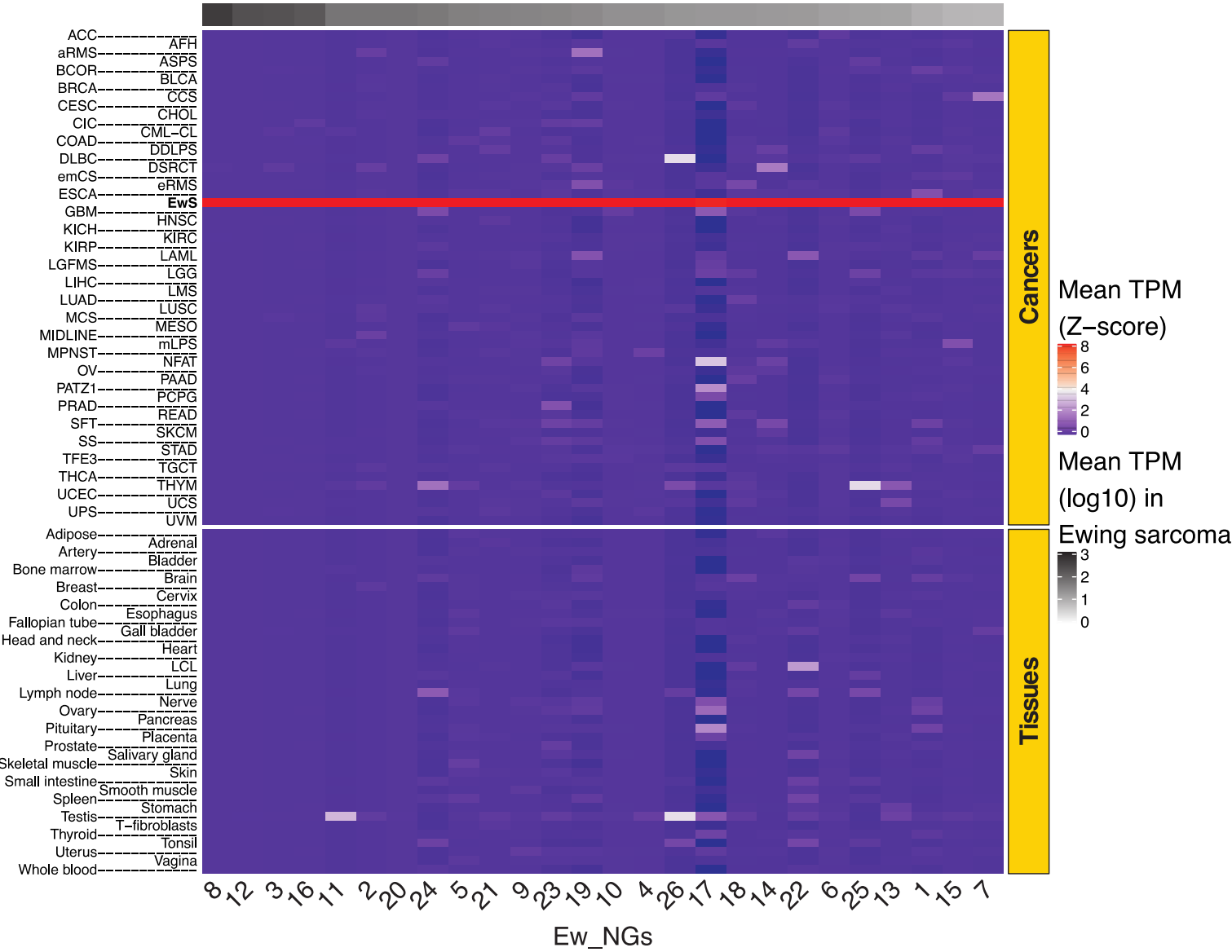


NG3  
FXR-1  
DAPI

ASP14 cells

Kyra Bergman & antoine Coulon

# 25 neogenes (Ew\_NG) found in Ewing sarcoma from short-read RNA-seq

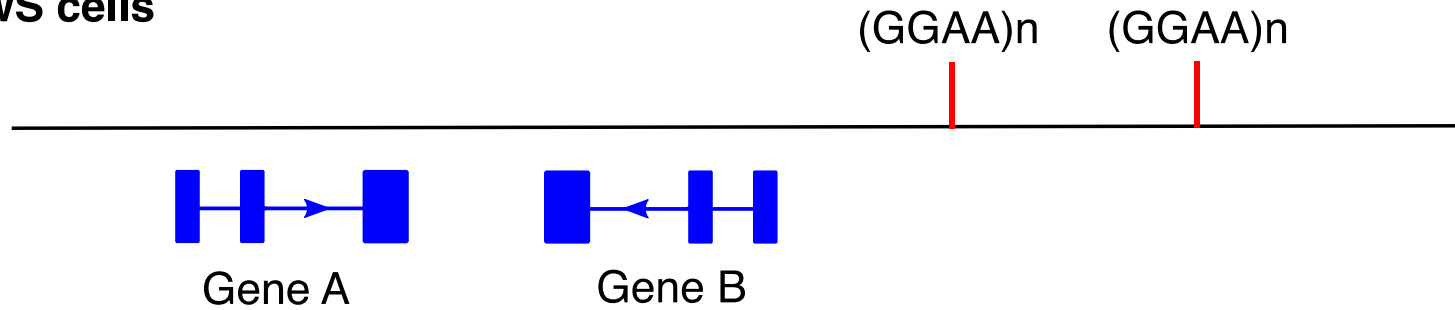


Neotranscripts are **broadly and specifically expressed** in Ewing sarcoma

# Proposed mechanism for EWS-FLI1-driven neogenes (Ew\_NGs)

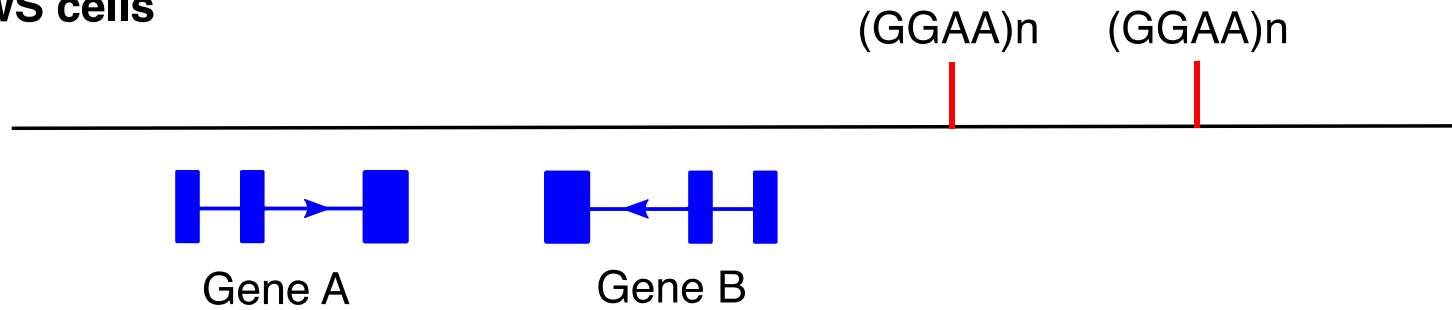
---

Non-EwS cells

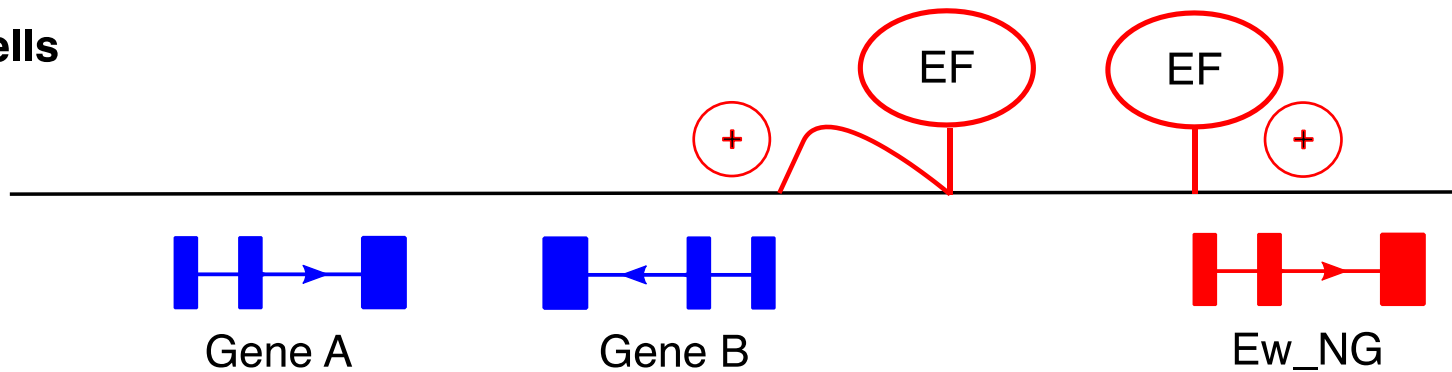


# Proposed mechanism for EWS-FLI1-driven neogenes (Ew\_NGs)

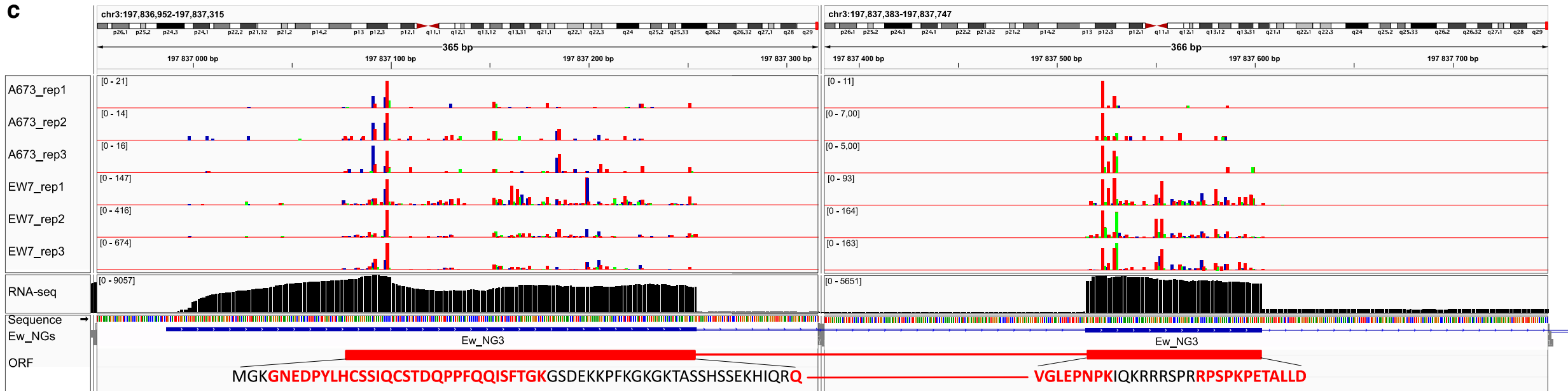
Non-EwS cells



EwS cells



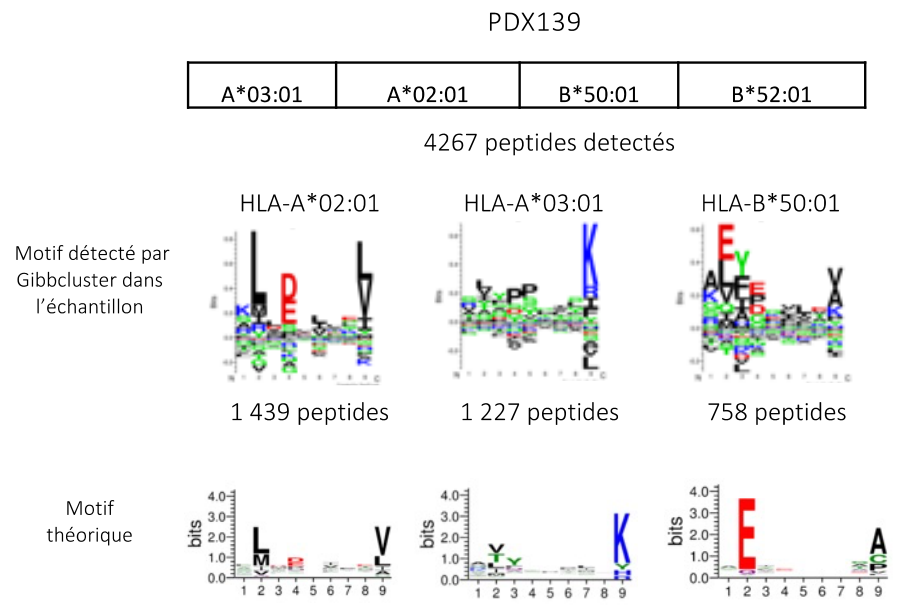
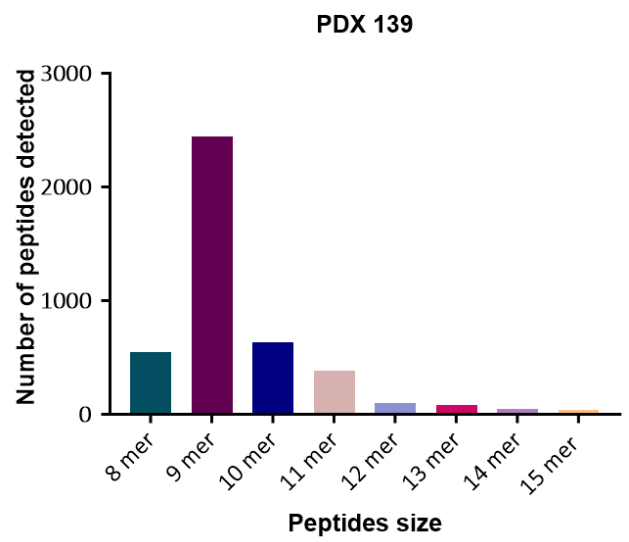
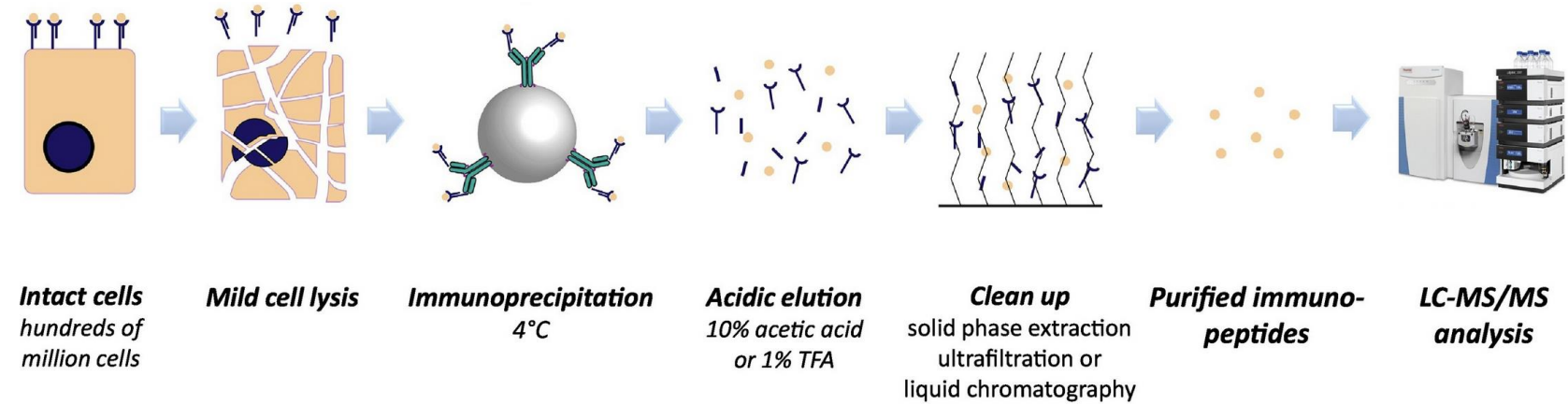
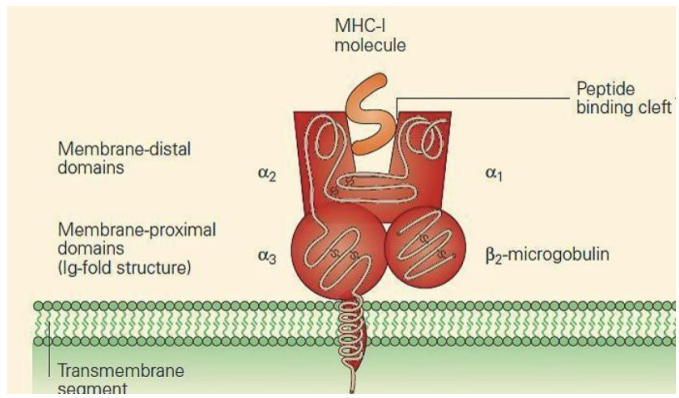
# Ces néogènes sont-ils traduits en protéines?



3 peptides identified independently in **mass spectrometry** of Ewing sarcoma cell lines

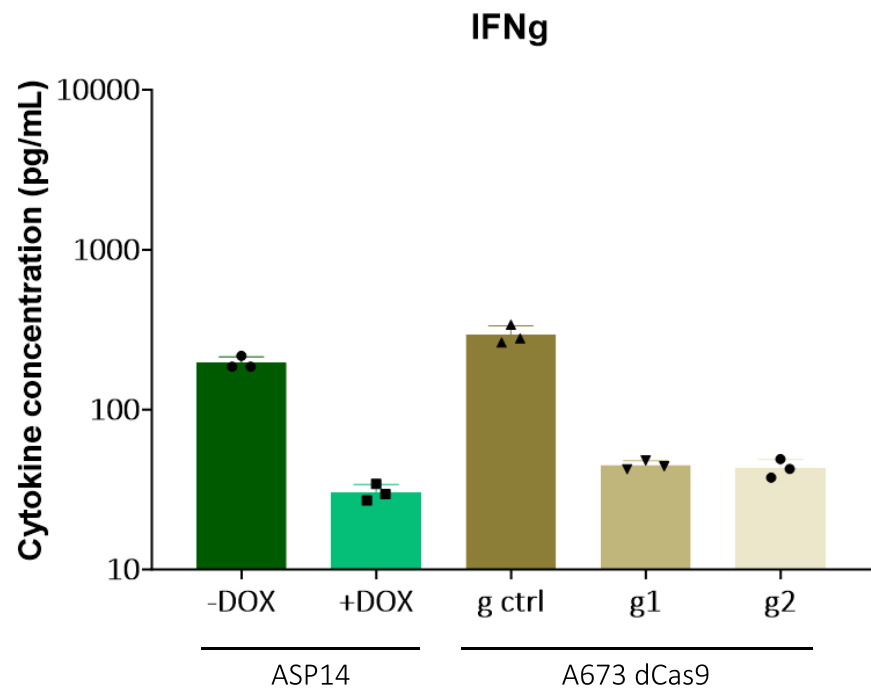
Céline Collin & Floriane Petit

# Des néopeptides correspondants à ces protéines sont-ils associés au MHC-I ?

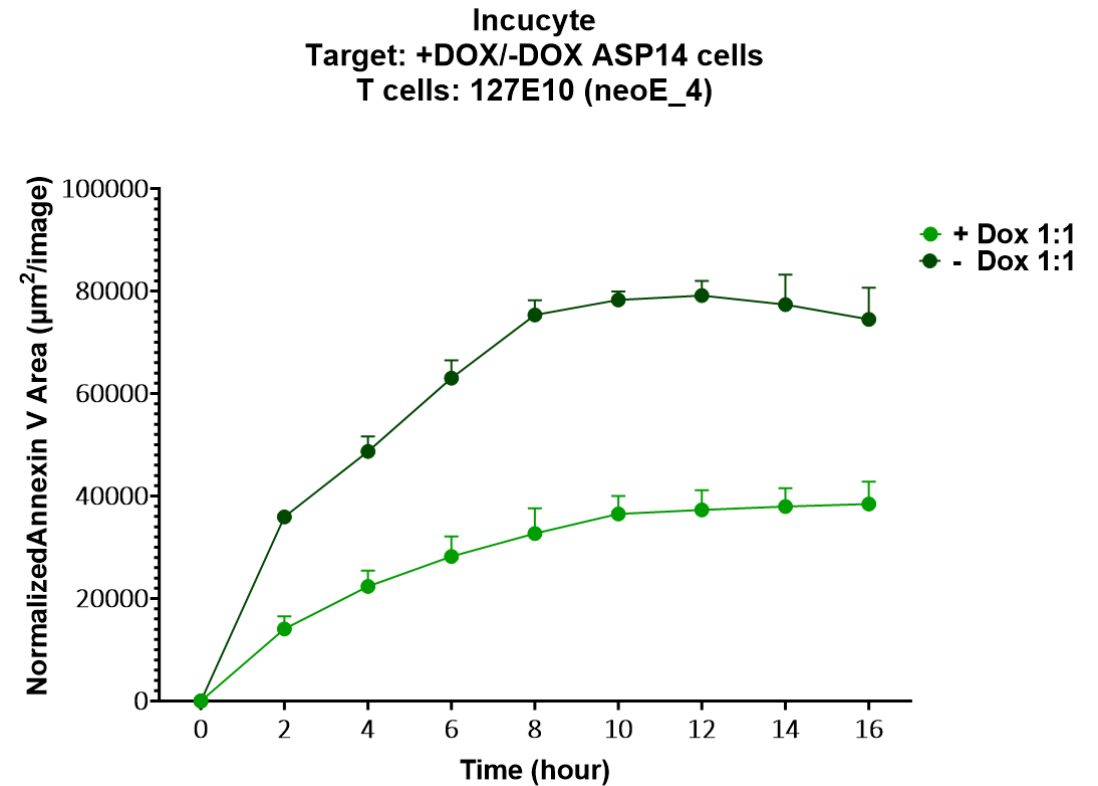


# Identification de CD8 T-cells capables de reconnaître ces peptides (HLA-A2)

Activées en présence de cellules d'Ewing HLA-A2

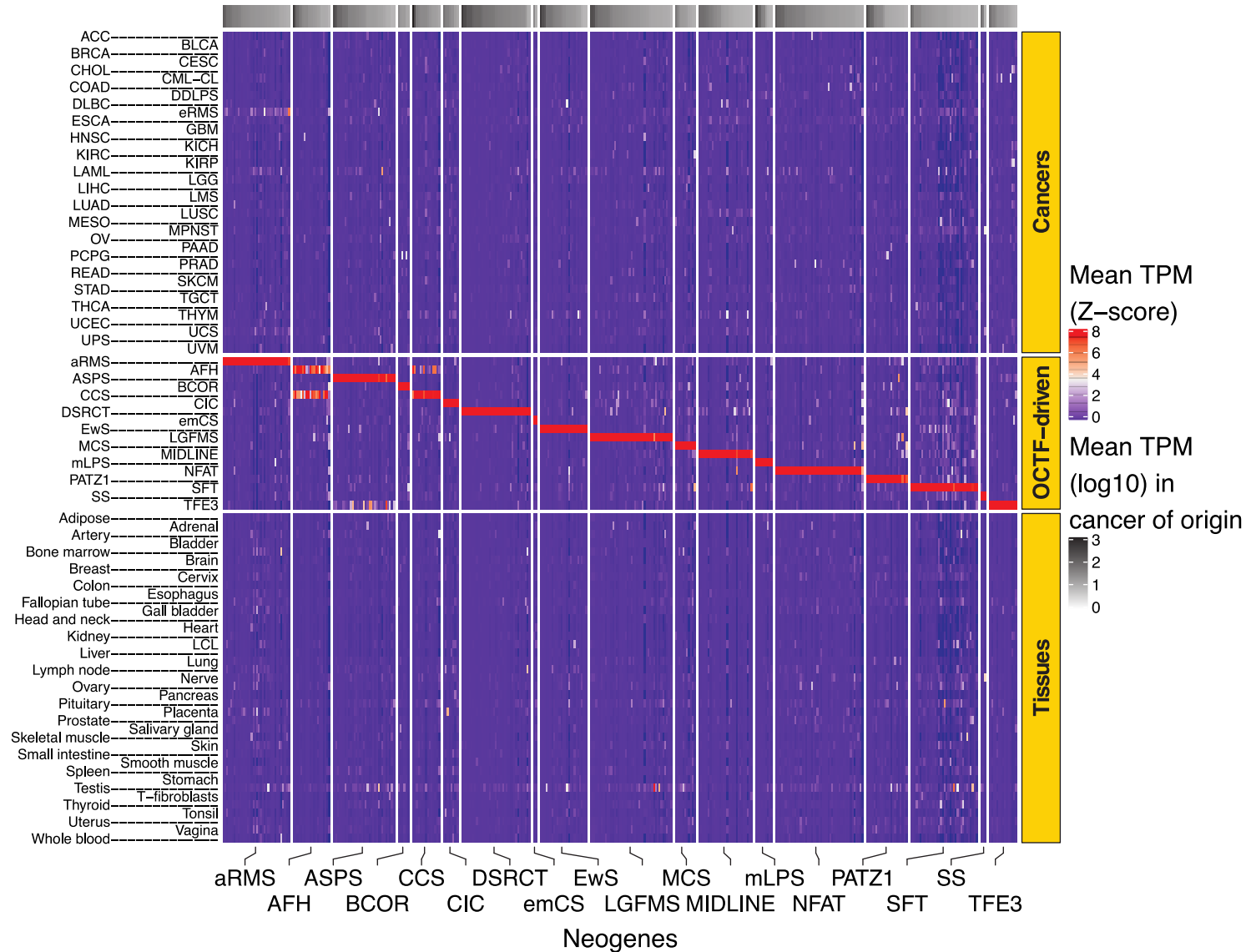


Capables de tuer des cellules d'Ewing

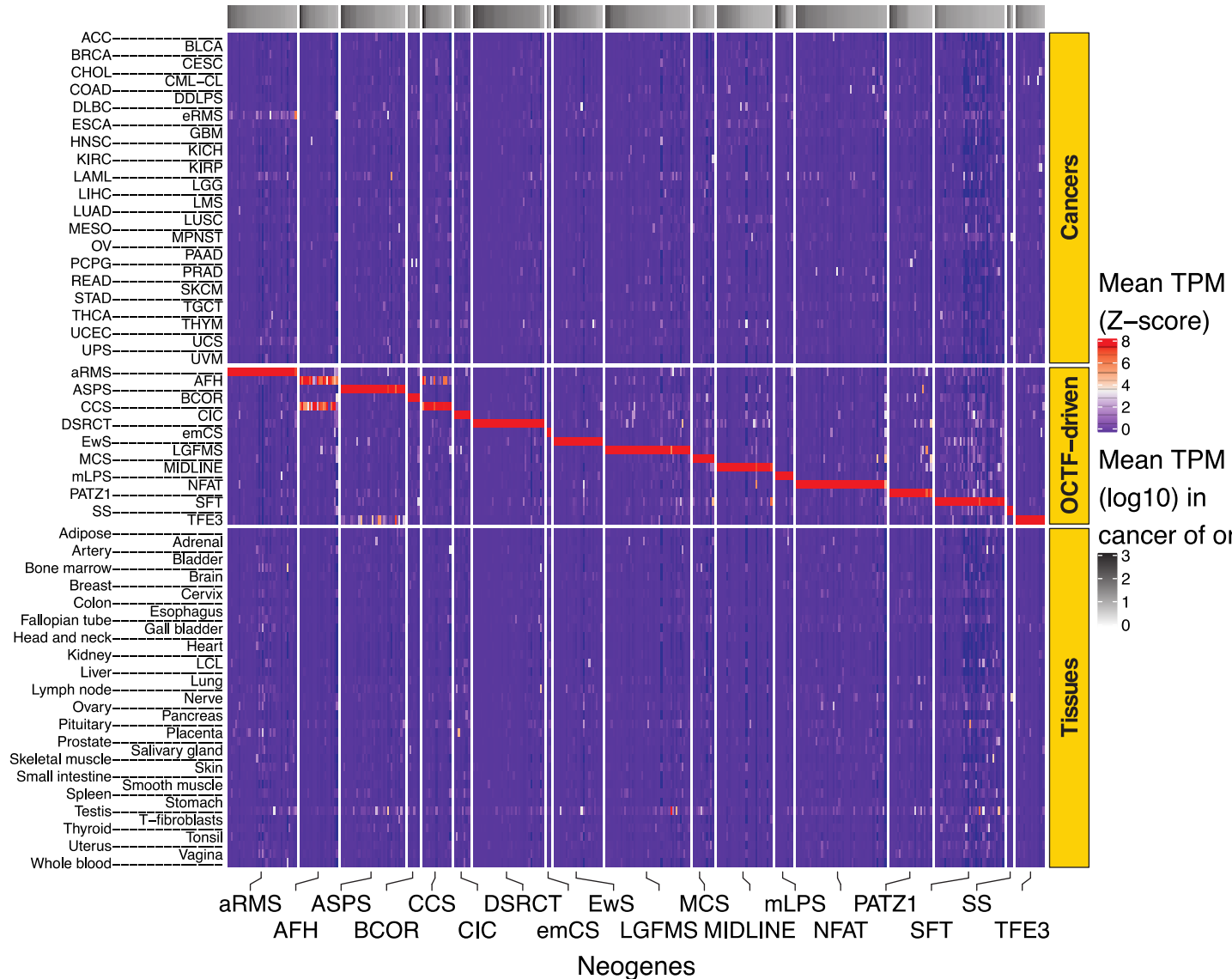


<b>Cancer type</b>	<b>Abbreviation</b>	<b>OCTF</b>
Angiomatoid fibrous histiocytoma	AFH	EWSR1-ATF1/CREB1
Alveolar rhabdomyosarcoma	aRMS	PAX3/PAX7-FOXO1
Alveolar soft part sarcoma	ASPS	ASPSCR1-TFE3
BCOR-rearranged sarcoma	BCOR	BCOR-CCNB3
Clear cell sarcoma	CCS	EWSR1-ATF1/CREB1
CIC-fused sarcoma	CIC	CIC-DUX4/NUTM1
Desmoplastic small round cell tumor	DSRCT	EWSR1-WT1
Extraskeletal myxoid chondrosarcoma	emCS	EWSR1-NR4A3
Ewing sarcoma	EwS	EWSR1-FLI1/ERG
Low-grade fibromyxoid sarcoma	LGFMS	FUS-CREB3L2
Mesenchymal chondrosarcoma	MCS	HEY-NCOA2
Midline carcinoma	MIDLINE	BRD-NUT
Myxoid liposarcoma	mLPS	FUS-DDIT3
EWSR1-NFATC2 sarcoma	NFAT	EWSR1-NFATC2
EWSR1-PATZ1 sarcoma	PATZ1	EWSR1-PATZ1
Solitary fibrous tumor	SFT	NAB2-STAT6
Synovial sarcoma	SS	SS18-SSX1/SSX2
TFE3-translocated renal cell carcinoma	TFE3	ASPSCR1-TFE3

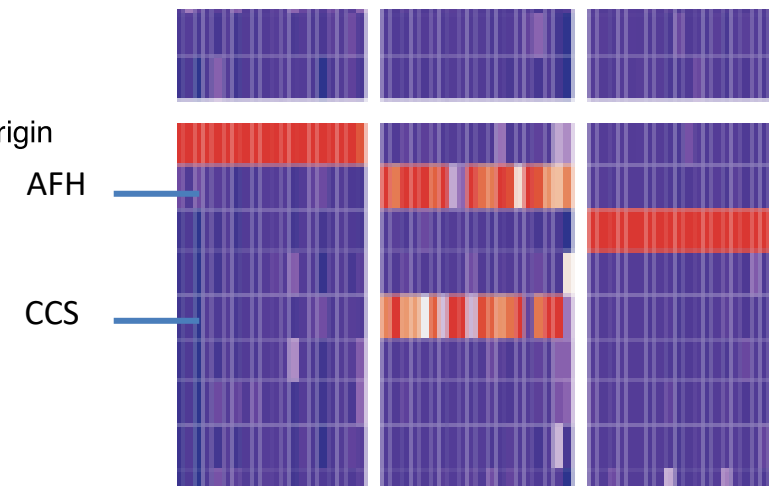
# 398 neogenes (encoding 807 neotranscripts) are found in 18 OCTF-driven cancers



# 398 neogenes (encoding 807 neotranscripts) are found in 18 OCTF-driven cancers



Angiofibromatoid histiocytoma and Clear cell Sarcoma are **driven by similar fusion genes [EWSR1/FUS-CREB family members (ATF1, CREB1, CREM)]** and express **common neotranscripts**



# Fort intérêt potentiel de ces néogènes pour l'immunothérapie

---

**Si les peptides correspondants sont présentés par le complexe MHC ils constitueraient des antigènes présentant les caractéristiques suivantes:**

- Une forte spécificité tumorale car non-exprimés dans les tissus normaux
- Ils sont publics, cad exprimés dans toutes les tumeurs du même type (≠ mutations)
- Exprimés de façon clonale dans les cellules tumorales
- Directement liés au processus oncogène

**Excellents candidats pour des approches de vaccination, BiTE ou TCR-T cells**

## INSERM-CURIE U830

**Sakina Zaidi**  
**Karine Laud**  
**Sandrine Grossetête-Lalami**  
**Nadège Gruel**  
**Jill Pilet**  
**Olivier Saulnier**  
**Julien Vibert**  
**Florine Petit**  
**Céline Collin**



**Josh Waterfall's group**  
**Ana Lalanne & Olivier Lantz**



**Sequencing platform**  
Sylvain Baulande,  
Virginie Bernard  
Virginie Raynal  
Mylene Bohec

**Bioinformatics, U 900**  
Andrei Zinovyev  
Aziz Fouché-Asnoun  
Nicolas Servant  
Emmanuel barillot

**Pathologists and clinicians**  
**Patients and their families**

